

# The New SI and the Fundamental Constants of Nature

Miguel A. Martin-Delgado<sup>1</sup>

<sup>1</sup>*Departamento de Física Teórica, Universidad Complutense, 28040 Madrid, Spain.*

*CCS-Center for Computational Simulation, Campus de Montegancedo UPM, 28660 Boadilla del Monte, Madrid, Spain.*

The launch in 2019 of the new international system of units is an opportunity to highlight the key role that the fundamental laws of physics and chemistry play in our lives and in all the processes of basic research, industry and commerce. The main objective of these notes is to present the new SI in an accessible way for a wide audience. After reviewing the fundamental constants of nature and its universal laws, the new definitions of SI units are presented using, as a unifying principle, the discrete nature of energy, matter and information in these universal laws. The new SI system is here to stay: although the experimental realizations may change due to technological improvements, the definitions will remain unaffected. Quantum metrology is expected to be one of the driving forces to achieve new quantum technologies of the second generation.

La puesta en marcha en 2019 del nuevo sistema internacional de unidades es una oportunidad para resaltar el papel fundamental que las leyes fundamentales de la Física y la Química juegan en nuestra vida y en todos los procesos de la investigación fundamental, la industria y el comercio. El principal objetivo de estas notas es presentar el nuevo SI de forma accesible para una audiencia amplia. Tras repasar las constantes fundamentales de la naturaleza y sus leyes universales, se presentan las nuevas definiciones de las unidades SI utilizando como principio unificador la naturaleza discreta de la energía, la materia y la información en esas leyes universales. El nuevo sistema SI tiene vocación de futuro: aunque las realizaciones experimentales cambien por mejoras tecnológicas, las definiciones permanecerán inalteradas. La Metrología cuántica está llamada a ser uno de las fuerzas motrices para conseguir nuevas tecnologías cuánticas de segunda generación.

## Contents

		2. Balanza de Kibble	29
		3. Triángulo Metrológico Cuántico	32
<b>I. Introduction</b>	1	<b>XI. Una ‘Anomalía Gravitacional’ en el SI</b>	32
<b>II. The New SI of Units</b>	2	<b>XII. Conclusiones</b>	33
<b>III. The Fundamental Constants of Nature</b>	3	<b>Acknowledgments</b>	34
<b>IV. Revision of the SI based on the fundamental constants</b>	5	<b>References</b>	34
A. The New Definitions	5		
B. Quantum Metrology and the New SI	8		
1. Quantum Clocks	10		
2. Kibble Balance	11		
3. Quantum Metrology Triangle	14		
<b>V. A ‘Gravitational Anomaly’ in the SI</b>	14		
<b>VI. Conclusions</b>	15		
<b>Acknowledgments</b>	16		
<b>References</b>	16		
<b>VII. Introducción</b>	19		
<b>VIII. El Nuevo SI de Unidades</b>	19		
<b>IX. Las Constantes Fundamentales de la Naturaleza</b>	20		
<b>X. Revisión del SI basado en las Constantes Fundamentales</b>	22		
A. Las Nuevas Definiciones	22		
B. Metrología Cuántica y el Nuevo SI	26		
1. Relojes Cuánticos	28		

## I. INTRODUCTION

On May 20th, 2019, matching with the World Metrology Day, the new international system (SI) of units that was approved at the assembly of the 26th General Conference of Weights and Measures (CGPM) met in Versailles during November 13nd-16th, 2018 [1]. This is a historical achievement. It is the culmination of many efforts during many years of joint work between the national metrology institutes from the member states and the BIPM (Bureau International des Poids et Mesures), providing a wonderful example of international collaboration.

The CGPM approved to review in 2018 four of the base units (the kilogram, the ampere, the kelvin and the mole). In this way, all the basic measurement units are linked to physical constants instead of arbitrary references. This means the retirement of the famous mass pattern, the kilo IPK [1–3], which was the only standard linked to a remaining material device. Now all the base units are associated with nature’s rules to create our measurement rules [1]. What underlies all these redefinitions is the possibility of carrying out measurements at atomic and quantum scales to perform the units at macroscopic scale.



Figure 1: The international prototype of the IPK kilogram, kept at the BIPM near Paris, and its six official copies, *témoins*. (Credit: BIPM).

Although removing of artifacts to define base units is useful to better guarantee their stability and universality, however the new system brings with it the enormous challenge of explaining its functioning to society in layman words, and to high schools and universities. Artifacts are tangible (see Fig.18), while the fundamental laws of nature (physics and chemistry) are abstract and harder to grasp by the general public. In this sense, in X A a unified treatment of all definitions of SI units is presented using as a common framework the discretization of energy, matter and information that is the fundamental ingredient of the laws of physics and chemistry to which the new SI units are linked. These notes arise from several introductory lectures to explain the relationship of the fundamental constants with the new unit definitions.

When introducing the constants of nature in section IX, a distinguishing feature has been highlighted among the five universal constants associated with fundamental laws of nature. While  $h$ ,  $c$  and  $e$  are associated with principles of symmetry, it is not the case of Boltzmann's  $k$  and Avogadro's  $N_A$  constants.

Even though all the new definitions of the base units are presented here, however an exhaustive presentation of all their experimental realizations is avoided for it is far too technical for the purpose of these notes. There is more detailed documentation for that [2–4]. The case of the ‘quantum kilo’ deserves a special treatment, as it is so novel and mass something so common in daily life. Thus, the Kibble balance, which is

Constant	Value
$h$	$6.626\,070\,15 \times 10^{-34} \text{J s}$
$e$	$1.602\,176\,634 \times 10^{-19} \text{C}$
$k$	$1.380\,649 \times 10^{-23} \text{JK}^{-1}$
$N_A$	$6.022\,140\,76 \times 10^{23} \text{mol}^{-1}$

Table I: CODATA 2018 values [5, 6] for universal constants whose value has been set to define the kilo, ampere, kelvin and mole in the new SI of units enacted by BIPM since May 20th, 2019.

the practical realization of the new kilo, is given a simple description of how it works.

The rest of the article is organized as follows: in section VIII, the new methodology of separating unit definitions from their experimental realizations is explained; section IX describes the fundamental constants of nature appearing in the new definition of SI units as preparation for the explicit definition in section X A of the seven base units. In X B the role of quantum metrology in the new SI is explained through three examples: quantum clocks, the Kibble balance and the ‘quantum kilo’, and the quantum metrological triangle. In section XI we reflect on the absence of the universal gravitational constant  $G$  in the new system of units and its implications. Section XII is devoted to conclusions.

## II. THE NEW SI OF UNITS

The new International System (SI) of units that is ruling as of May 20th, 2019 represents a great conceptual and practical revolution since for the first time all units are linked to natural constants, many of them universal, and it means a dream of Physics and Chemistry come true.

The foundation of the new SI is based on the following premises [2, 3]:

1. The separation of unit definitions from their particular experimental realizations.
2. The linking of unit definitions to natural constants.
3. The new unit system is designed to last over time and not be subject to changes due to the continuous advances in the methods of experimental measurement.

The great conceptual advance of the new SI consists in separating the practical realization of units from their definitions. This allows the units to be materialized independently anywhere and at any time as envisioned by the Committee of Experts of the Decimal Metric System in 1789. This also allows new types of realizations to be added in the future as new technologies get developed, without having to modify the definition of the unit itself. An example of this comes from the new quantum technologies and the development of the quantum clock that will change the experimental realization of a second in the near future (see subsection X A).

In the new SI, the units of mass (kg), electric current (A), temperature (K) and quantity of substance (mol) are redefined

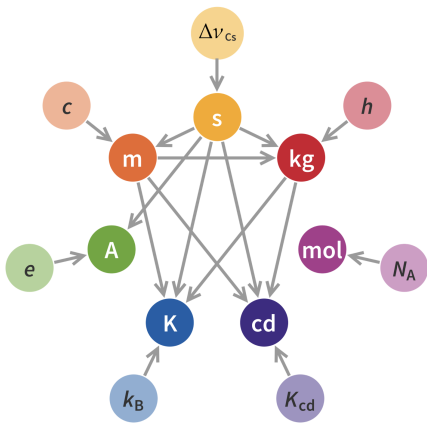


Figure 2: Schematic relationship between the base units of the new SI and its associated natural constants. In the central part the units and their dependencies among each other appear: the second influences the definition of five units, while the mole appears decoupled. The symbols of the constants used to define the units appear on the outside. See subsection X A. (Credit: Emilio Pisanty/Wikipedia).

by linking them to the four universal constants that appear in table VII, whereas the units of time (s), length (m) and luminous efficacy (cd) remain associated with constants of nature as before (see Fig.19).

The new dependencies among the units in the new SI are now much more symmetrical than in the previous system as leaps to the eye by taking a look at Fig.19. The second is still the base unit on which all the others depend, except for the mole that appears decoupled from the rest of the units. The fundamental constants that are set to an exact value appear outside the scheme and their linked units appear inside. These redefinitions have fundamental consequences in certain magnitudes, such as the electrical  $\epsilon_0$  and magnetic  $\mu_0$  constants in vacuum that cease to be exact and become experimentally determined in the new SI. Thus, the magnetic constant is determined by the equation [2]:

$$\mu_0 = \frac{2\alpha h}{e^2 c}, \quad (1)$$

so that all constants in this equation have a fixed value (see table VII) except for the electromagnetic fine structure constant  $\alpha$  that is experimentally measured. In turn, this results in a value given by (CODATA2018)

$$\mu_0 = 4\pi[1 + 0.0(6.8) \times 10^{-10}] \times 10^{-7} \text{NA}^{-2} \quad (2)$$

$$= 1.25663706212(19) \times 10^{-6} \text{NA}^{-2}. \quad (3)$$

Then, the electric constant in vacuum is obtained from the relationship,

$$\epsilon_0 = \frac{1}{\mu_0 c^2}, \quad (4)$$

yielding the current value (CODATA2018)

$$\epsilon_0 = 8.8541878128(13) \times 10^{-12} \text{Fm}^{-1}. \quad (5)$$

Symbol	Constant	Law
$c$	speed of light	Theory of Relativity
$h$	Planck	Quantum Physics
$k$	Boltzmann	Thermodynamics
$e$	Electron charge	Quantum Electrodynamics
$N_A$	Avogadro	Atomic Theory

Table II: The five universal constants of nature and their corresponding laws they are associated with. The laws of Physics and Chemistry allow us to describe natural phenomena once the values of the constants are known.

However, in our daily life the changes will not cause any trouble because they typically correspond to changes of a part in  $10^8$ , or even less. Their effects are very important though in the high precision measurements that are needed in research laboratories and metrology institutes where it is essential to be able to make exact and precise measurements to know whether a new discovery has been really found.

### III. THE FUNDAMENTAL CONSTANTS OF NATURE

Underlying every universal constant of nature there is one of the fundamental laws of Physics and Chemistry. Of the seven units of the new SI, five are associated to universal constants of nature as shown in table IV.

The fundamental constants are like the DNA of our universe. Other universes, if they exist, may have a different set of universal constants. In our universe, depending on the particular physical phenomenon and its scale, we will need some fundamental constants to explain it. With this handful of constants we can describe our physical world from atomic, mesoscopic, microscopic, macroscopic, astronomical to cosmological scales.

In addition to these 5 universal constants, in the new SI there are two extra constants that are used to determine the unit of time and that of luminous efficacy. The first of these is the hyperfine transition frequency of the unperturbed fundamental state of the cesium atom 133, denoted by  $\Delta\nu_{Cs}$ . Although this is a constant of nature, we cannot consider it as fundamental on an equal footing with the other five. If we did, any energy gap in the spectrum of any atom would also be fundamental and we would end up with an infinite number of fundamental constants. In addition, this frequency is computable in principle using the laws of quantum electrodynamics, while constants such as those in table VII are not calculable from the first principles currently known. As for the light efficiency  $K_{cd}$ , the associated constant is not even universal and is purely conventional. In summary, only 5 of the 7 constants used in the new SI are really fundamental in the sense expressed here.

There is another essential aspect that deserves to be highlighted: three of these five universal constants are associated with symmetry principles of nature. The speed of light constant  $c$  is responsible for the unification of space and time in the theory of Relativity [7], one of the pillars of modern

physics. What underlies this fundamental law is the Principle of Relativity, which declares all inertial reference frames in relative motion as physically equivalent. It is this symmetry that is responsible for the constancy of the speed of light. If  $c$  were not constant, Lorentz's transformations and therefore the Relativity Principle, would be broken.

The Planck constant  $h$  is responsible for the physical quantities such as energy, angular momentum, etc. can take on discrete values, called quanta. It is the fundamental constant of Quantum Mechanics, another of the pillars of modern physics. What underlies this fundamental law is the Unitary Principle, enforcing the probability of finding the particles in their quantum state to be preserved throughout their temporal evolution. Even more basic is the linearity of Quantum Mechanics represented by the Superposition Principle of states that is necessary to guarantee unitarity. If  $h$  were not constant, the Unitarity Principle would be broken. It is the Principle of Superposition (linearity) of Quantum Mechanics that is at the root of all the counterintuitive surprises that quantum physics brings about as R. Feynman [8, 9] teaches us. Precision tests on the possible lack of non-linearity of Quantum Mechanics can be performed using non-linear models that provide theoretical estimates of linearity validity rates of only  $10^{-21}$  error [10], and up to  $4 \times 10^{-27}$  with direct measures [11]. It so happens that to obtain these estimations, the highly exact measurements of the radio-frequency transitions probed in the frequency standards are used. It turns out that a possible non-linearity would produce a de-tuning of those resonant transitions in the standards.

The charge of the electron  $e$  is the value of the elementary (unconfined) source of electric field in Quantum Electrodynamics, the first of the known elementary particle theories and the one that serves as a reference for the rest of fundamental interactions. What underlies this fundamental law is the Principle of Gauge Invariance that describes known elementary interactions. In the case of electromagnetism, the invariance group is the simplest  $U(1)$ . It is this symmetry that is responsible for the constancy of the electron charge: if  $e$  is not constant, the gauge symmetry breaks down.

In these three examples, the values of the fundamental constants  $c$ ,  $h$  and  $e$  are protected by nature's symmetries. An increasingly accurate measurement of them may result in a lack of constancy, and therefore, the violation of one of the fundamental laws of physics. Then metrology is also a source of discovery of new physics through the improvement over time of its measurement methods. A very important example of this fact within the new SI is the so-called quantum metrological triangle that we will see in the subsection X B, and also the possible variations in the electromagnetic structure constant  $\alpha$  or the ratio of the proton mass to the electron mass (see X B).

The Boltzmann constant  $k$  is the conversion factor that allows the thermodynamic temperature  $T$  of a body to be related to the thermal energy of its microscopic degrees of freedom (constituents). This is the fundamental constant in Statistical Physics, which studies the relationship between macroscopic physics and its microscopic constituents, another of the pillars of physics. The constant  $k$  appears in the description of the macroscopic world in the probability  $P_i$ , or Boltzmann

factor, of finding a system in a microscopic state  $i$  when it is in thermodynamic equilibrium at the temperature  $T$ :

$$P_i = \frac{e^{-\frac{E}{kT}}}{Z}, \quad (6)$$

where  $Z$  is the partition function characteristic of the system. Boltzmann established the relationship between macroscopic and microscopic worlds in his formula for entropy  $S$ :

$$S = k \ln W, \quad (7)$$

where  $W$  is the number of different microscopic states corresponding to a macroscopic state of the system with given energy  $E$ . This is the famous equation that appears in the frontispiece of Boltzmann's tomb in Vienna. However, Boltzmann established the relationship (46) as a proportionality law, without explicitly introducing his constant. Historically, Planck was the first to write it in his article where he laid down the black body radiation law, along with his constant  $h$  of energy quanta [12]. Planck was the first to give numerical values to these two constants using the experimental values of the universal constants that appear in the Wien law of displacement and the Stefan-Boltzmann's law, which describe essential properties of radiation in thermal equilibrium. These first values turned out to be very close to the current ones [12] (see Table VII):

$$h = 6.55 \times 10^{-27} \text{ erg s}; \quad k = 1.346 \times 10^{-16} \text{ erg degree}^{-1}. \quad (8)$$

The Boltzmann constant has no associated symmetry principle, unlike the other three constants mentioned above.

Avogadro's constant  $N_A$  is a conversion factor that relates the macroscopic amount of a substance to the number of its elementary constituents, whether they are atoms, ions, molecules, etc. It is a fundamental constant in the Atomic Theory of matter in Physics and Chemistry. The mole is introduced to handle macroscopic quantities of a substance that is made of a huge number of elementary entities. Avogadro's constant  $N_A$  is the proportionality factor between the mass of one mole of substance (molar mass) and the average mass of one of its molecules, or whatever its elementary constituents.  $N_A$  is also approximately equal to the number of nucleons in a gram of matter. To define the mole, the oxygen atom was initially taken as a reference and then carbon. In the new SI, the mass of one mole of any substance, be it hydrogen, oxygen or carbon, is  $N_A$  times the average mass of each of its constituent particles, which is a physical quantity whose value must be determined experimentally for each substance.

The origin of the word mol comes from the Latin *moles* which means mass, and *molecula* which means small portion of mass. Avogadro's constant has also no symmetry principle associated.

As both the Boltzmann constant  $k$  and Avogadro's  $N_A$  are conversion factors for macroscopic and microscopic properties, they are also related to one another:

$$R = N_A k, \quad (9)$$

where  $R$  is the constant of the ideal gases that relates pressure, volume and temperature:  $PV = nRT$ , with  $n$  the number of moles in the gas.

The Atomic Hypothesis plays a fundamental role in the description of nature. It states that matter is not a continuum, but is discrete and made of elementary entities called atoms. Feynman considered it the most important idea of all science because it contains a lot of information in a few words, and from which, you can reconstruct many of the properties surrounding us, such as that there are different states of matter depending on the temperature and its phase changes [8]. At the time of Boltzmann in the second half of XIX century, the existence of atoms and molecules was still under debate and is one of the reasons why the Boltzmann constant was introduced late because then macroscopic energies were used with the gas constant, instead of energies per molecule (48) [13]. The works on the Brownian motion, theoretical by Einstein and experimental by Perrin, were essential to establish the validity of the Atomic Hypothesis at the beginning of the XX century.

#### IV. REVISION OF THE SI BASED ON THE FUNDAMENTAL CONSTANTS

##### A. The New Definitions

The explanations of the new SI are greatly facilitated by the new viewpoint adopted to separate the definitions of units, which are linked to the constants of nature, from their concrete experimental realizations. The latter may be changing with the technology and the development of new measurement methods in the laboratory (section VIII).

The visible universe is made of matter and radiation. Physics is the science devoted to the study of matter and radiation, and their interactions. The new SI uses the discrete nature of matter and radiation to define its units based on natural constants. The discrete character of matter is historically called the atomic hypothesis and the discrete character of radiation, the quantum hypothesis.

Let us start with electromagnetic radiation, one of whose forms is light. Its velocity  $c$  has a property that makes it special for measuring times and distances: it is a universal constant and has the same value for all inertial observers, that is, those who measure physical, i.e. observable, magnitudes.

Since time is the most difficult magnitude to define, then it is defined first as the most basic one. For this we use an oscillator that is very stable: the cycles of cesium atoms in an atomic clock. Galileo used pendulums, or even his own pulse, to measure time. The definition of time given by Einstein is famous: “What is time? Time is what a clock measures”. It is a very simple and at the same time a very deep definition. In fact, it is a metrological definition of time that fits very well in the new SI: once the time is defined in a generic way in terms of an oscillator or clock, the choice of a suitable clock is left for the realization of the unit second (s). According to the rules of the new SI, the definition and realization of the second is as follows:

**second:** “The second, symbol s, is defined by setting the fixed numerical value of the cesium frequency  $\Delta\nu_{\text{Cs}}$ , the unperturbed ground-state hyperfine transition frequency of the cae-

sium 133 atom, in 9 192 631 770, when expressed in the unit of Hz (hertz), equal to  $1/s$ ”. □

The realization of the second by means of the transition frequency of cesium

$$\Delta\nu_{\text{Cs}} = 9192631770 \text{ Hz}, \quad (10)$$

implies that the second is equal to the duration of 9 192 631 770 periods of the radiation corresponding to the transition between the two hyperfine levels of the unperturbed ground-state of the atom  $^{133}\text{Cs}$ .

This materialization of the time standard is an example of the provisional character of the experimental realizations of the SI units. Standards based on cesium have been around since the 60s of the XX century. We currently have more precise realizations using quantum clocks and a renewal of the second using this quantum technology is already planned by the BIPM before 2030 (see XB). However, the definition of time will remain unchanged.

The metre is then defined with the time and the speed of light  $c$ :

**metre:** “The metre, symbol  $m$ , is defined by taking the fixed numerical value of the speed of light in vacuum  $c$  as 299 792 458 when expressed in the unit  $\text{ms}^{-1}$ , where the second is defined in terms of the cesium frequency  $\Delta\nu_{\text{Cs}}$ ”. □

With this definition, a metre is the length of the path traveled by the light in vacuum during a time interval with a duration of  $1/299\,792\,458$  of a second. This definition is based on setting the speed of light in vacuum exactly at

$$c = 299792458 \text{ ms}^{-1}. \quad (11)$$

The methods for measuring the speed of light have changed over time, from the initial of Ole Römer in 1676, based on the transit of the moon Io of Jupiter measured by a telescope, to modern techniques using laser interferometry.

Next, the natural thing is to define the unit of mass, the kilo. It turns out that light has also another property that makes it very useful for defining the kilo: light of a fixed frequency (monochromatic) has a minimum discrete energy called photon whose energy is proportional to their frequency as discovered by Planck [12], and then Einstein [16]. That constant of proportionality is Planck’s  $h$  constant. The units of this constant are the basic three of what was once called the MKS System, precursor of the current SI: metre, kilo and second in the following proportion,

$$[h] = \text{kg m}^2 \text{ s}^{-1}. \quad (12)$$

It is important to note that Newton’s universal gravitation constant  $G$  has also units of the MKS system, although in another proportion:

$$[G] = \text{kg}^{-1} \text{ m}^3 \text{ s}^{-2}. \quad (13)$$

It turns out that  $h$  and  $G$  are the only fundamental constants with MKS units. There are other constants associated with fundamental interactions, but do not contain mass but other elementary charges. However, for  $G$  this is not enough to define the unit of mass with the accuracy that is needed in

metrology. The problem is that the precision with which  $G$  is measured is much worse than that of  $h$ . The ‘gravitational kilo’ is not a good practical metrological unit. This fact is the origin of the ‘quantum way’ for the kilo as we will see. In short, we can use  $h$  to define the kilo from the second and the metre that are already defined once the value of  $c$  is set.

Were it not for this lack of precision in measuring  $G$ , the constant  $h$  could be decoupled from the kilo and set independently through the purely quantum effects of Hall and Josephson (see XB):

$$h = \frac{4}{K_J^2 R_K} = 6.626068854 \dots \times 10^{-34} \text{Js}. \quad (14)$$

But if this other quantum route were taken, so natural in theory, then we would decouple the kilogram from  $h$  and it would be linked to an artifact again: we find ourselves forced to choose the ‘quantum kilo’.

Once the path of the ‘quantum kilo’ is chosen, the next question is how to use the Planck constant  $h$  to define it. To do this, we use the prescription from the new SI to use the  $h$  units and the second and metre definitions already introduced above. So, the definition of kilo looks like this:

**kilo:** “The kilogram, symbol kg, is defined by taking the fixed numerical value of the Planck constant,  $h$  as  $6.62607015 \times 10^{-34}$ , when expressed in unit J s, equal to  $\text{kg m}^2 \text{s}^{-1}$ , where the metre and the second are defined in terms of  $c$  and  $\Delta\nu_{\text{Cs}}$ .” □

Or in equations,

$$\begin{aligned} 1\text{kg} &= \left( \frac{h}{6.62607015 \times 10^{-34}} \right) \text{m}^{-2} \text{s} \\ &= 1,475521 \dots \times 10^{40} \frac{h \Delta\nu_{\text{Cs}}}{c^2} \end{aligned} \quad (15)$$

This definition is equivalent to the exact relationship

$$h = 6.62607015 \times 10^{-34} \text{Js}. \quad (16)$$

After the definition of the ‘quantum kilo’, the problem arises as to how to do it experimentally. The simplest thing at first sight would be to use the fundamental energy relations of Einstein [17] and Planck [12], respectively:

$$E = mc^2 \quad \text{and} \quad E = h\nu. \quad (17)$$

The basis of the ‘quantum kilo’ is to have a very precise method to measure  $h$  and then use it to define the kilo. But for this, the previous fundamental relationships present a problem. The photon, being a quantum of light energy, has no mass. If we want the quantum to have a mass, what is better defined is its de Broglie wavelength [18]:

$$E = \frac{hc}{\lambda}. \quad (18)$$

However, measuring a wavelength is easy for a plane wave, which is again more typical of monochromatic radiation. To have a real mass  $m$ , we need a particle with an associated wavelength. This corresponds to a mass localized in space, which is more naturally described with a wave packet. However, this one does not have a single wavelength in turn. Thus,

using the most basic relations of energy (56) is not the most metrologically sensible thing to do.

Hence, the quantum way for the kilo is realized through the Kibble Balance (see XB). This leads us to an important question: What kind of mass, inertial or gravitational, appears in the units of  $h$ , and therefore in the new definition of kilo? In the case of the photon that has no mass, such a distinction does not exist. When we have a particle with mass, then it will depend on the mechanical relationship we use to relate it to  $h$ , and thus decide whether the kilo we define is inertial or gravitational. For example, if we use Einstein’s relationship, the kilo will be inertial, if we use a balance, then the kilo will be gravitational. Therefore, the Kibble Balance provides us with a definition of a quantum gravitational kilo. Now, the Equivalence Principle tells us that both types of mass are equal and is experimentally proven with an accuracy greater than the measurement of the fundamental constants involved in the SI: an uncertainty of  $(0.3 \pm 1.8) \times 10^{-13}$  [19]. Thus, we can omit the gravitational term while the precision of the Equivalence Principle is greater than that of the fundamental constants.

The description of the ‘quantum kilo’ by means of the Kibble Balance belongs to the part of the new SI system corresponding to the practical realization of the kilo unit, not to its definition (see XB).

To continue defining the other SI units and derive them from the previous ones already defined, we turn to the discrete nature of matter. Thus, we know that there are atoms (neutral) and electrons (charged). The most elementary charged matter (unconfined) is the electron and with it the ampere is defined using the second already defined:

**ampere:** “The ampere, symbol A, is defined by taking the fixed numerical value of the elementary charge,  $e$ , as:

$$e = 1.602176634 \times 10^{-19} \text{C}, \quad (19)$$

when expressed in the unit coulomb, C, equal to A s, and the second is defined in terms of  $\Delta\nu_{\text{Cs}}$ .” □

Consequently, an ampere is the electric current corresponding to the flow of  $1/(1.602176634 \times 10^{-19})$  elementary charges per second. The advantage of the new ampere is that it can be really measured, unlike the old one that had an awful and impracticable definition that actually left it outside the SI system. In addition, it is independent of the kilogram and the uncertainty of the electrical quantities is reduced.

To experimentally realize the ampere, several techniques have been proposed: a) the most direct is to use the current definition of SI through single electron transport (SET) (see XB) [3, 4] although it is still under development to make it competitive; b) using Ohm’s law and the Hall and Josephson effects to define volt and ohm (see XB) [3, 4]; c) the relationship between the electric current and the temporal variation of the bias voltage in a capacitor [3, 4].

As for atoms, historically, they are the elementary units of substance and with them the mole can be defined as the unit of quantity of a certain substance. Behind this definition is the discrete nature of matter through the atomic hypothesis and the natural constant associated to it is Avogadro’s (48):

**mol:** “The mole, symbol mol, is the unit of the amount of

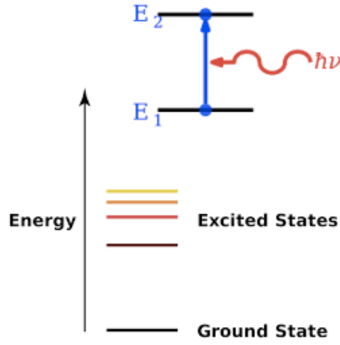


Figure 3: The first quantum revolution of technologies is based on the discrete nature of physical quantities, such as energy states in atoms. Photons of the electromagnetic radiation allow us to manipulate the states of well-defined energy (56). Credit Wikipedia (adapted)..

substance. One mole contains exactly  $6.02214076 \times 10^{23}$  elementary entities”. □

This value comes from setting the numerical value of the Avogadro constant to

$$N_A = 6.02214076 \times 10^{23} \text{ mol}^{-1}, \quad (20)$$

in units  $\text{mol}^{-1}$ . As a consequence, the mole is the amount of substance in a system that contains  $6.02214076 \times 10^{23}$  specified elementary entities. The amount of substance in a system is a measure of the number of elementary quantities. An elementary quantity can be an atom, a molecule, an ion, an electron, any other particle or a specific group of particles.

For the experimental realization of the ampere, several techniques have been proposed [3, 4]: a) the Avogadro project (International Avogadro Coordination), b) gravimetric methods, c) equation of gas, and d) electrolytic methods.

We still need the fundamental unit to measure temperature, the kelvin. Following the new SI, we must link it to a fundamental constant of nature, in this case the Boltzmann constant  $k$ . Boltzmann’s constant serves as a conversion factor between energy and temperature:

$$E = kT. \quad (21)$$

We can also see this constant as a result of nature’s discrete character. For example, the atomic hypothesis for ideal noble gases allows to calculate their kinetic energy as:

$$E_c = \frac{3}{2}kT. \quad (22)$$

The resulting new definition for kelvin as the unit of thermodynamic temperature is:

**kelvin:** “The kelvin, symbol K, is defined by taking the fixed numerical value of the Boltzmann constant,  $k$ , as

$$k = 1.380649 \times 10^{-23} \text{ JK}^{-1}, \quad (23)$$

when it is expressed in units  $\text{kg m}^2 \text{ s}^{-1} \text{ K}^{-1}$ , where the kilogram, metre and second are defined according to  $h, c$  and  $\Delta\nu_{Cs}$ ”. □

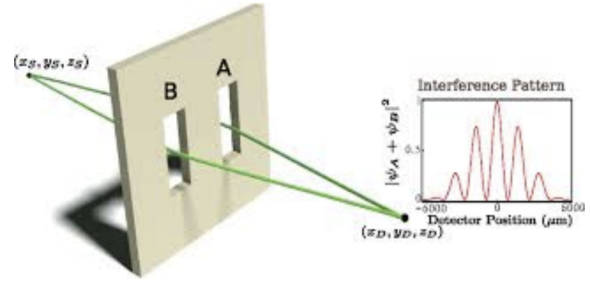


Figure 4: The second quantum revolution of technologies is based on the principle of superposition of quantum mechanics. The simplest case is exemplified by the two-slit experiment [8, 9] where the properties of a single particle get in superposition. When quantum superposition involves several particles, the resulting phenomenon is quantum entanglement, which is the fundamental resource in quantum information [29]. Credit: R. Sawant et al. [30]

This definition implies that the kelvin is equal to a thermodynamic change in temperature resulting in a change in thermal energy  $kT$  of  $1.380649 \times 10^{-23}$  J. As a consequence of the new definition, the triple point of water ceases to have an exact value and now has an uncertainty given by:

$$T_{\text{TPW}} = 273.16000\text{K} \pm 0.00010\text{K}, \quad (24)$$

as a result of inheriting the uncertainty that the Boltzmann constant  $k$  had before the new definition.

Following the guiding principle used so far to introduce the new definitions of SI units using the discrete nature of energy (56) and matter (48), we can go further on and use the discrete nature of information to introduce the Boltzmann constant. Thus, another way to substantiate the discrete origin of Boltzmann’s constant is through the Landauer Principle [20] which establishes that the minimum energy dissipated in the form of heat at a temperature  $T$  in the simplest elementary system, whether classical (bit) or quantum (qubit), is:

$$E = \ln 2 kT. \quad (25)$$

The underlying origin of the Landauer Principle is the irreversible nature of information deletion or erasure [21, 22] in a system, which leads to a minimum dissipation of energy [23]. Its experimental verification has been possible directly in several recent works [24–27]. In this way, we have a unified vision of all SI units based on the fundamental property that both energy, matter and information possess: their discrete nature in our universe.

Several techniques have been proposed for the experimental realization of the kelvin [3, 4]: a) by acoustic gas thermometry, b) radiometric spectral band thermometry, c) polarizing gas thermometry and d) Johnson noise thermometry.

The seventh base SI unit used to measure the light efficiency of a source deserves a special comment. It is a measure of the goodness of a light source when its visible light is perceived by the human eye. It is clearly conventional and subjective. Average values of human eye behavior are used. It is quantified by the ratio of the luminous flux to the power, measured

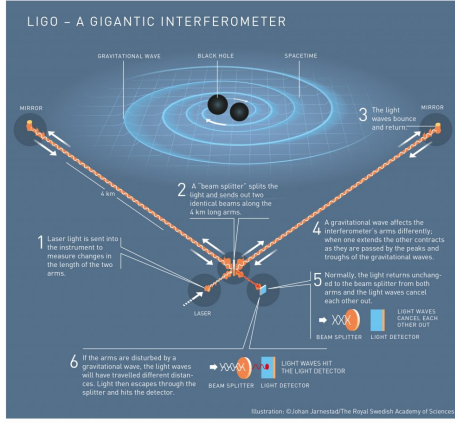


Figure 5: Diagram of a LIGO type gravitational wave detector. The two perpendicular arms of four km each are shown. The gravitational waves caused by the collision of two black holes can be detected in the interference pattern thanks to the extreme sensitivity of the device that allows resolving distances thousands of times smaller than the atomic nucleus. (Credit Johan Jarnestad/The Royal Swedish Academy of Sciences [35]).

in lumens (lm) per watt in the SI. There is no universal law of physics associated with this unit, for the light source does not have to be in thermodynamic equilibrium. The basic concept for the candle is maintained in the new SI:

**candela:** “The candela, symbol cd, is the SI unit of luminous intensity in a given direction. It is defined by taking the fixed numerical value of the luminous efficacy of monochromatic frequency radiation  $540 \times 10^{12}$  Hz,  $K_{cd}$ , to be 683 when expressed in the unit  $\text{lm W}^{-1}$ , which is equal to  $\text{cd sr W}^{-1}$ , or  $\text{cd sr kg}^{-1} \text{m}^{-2} \text{s}^3$ , where the kilogram, metre and second are defined in terms of  $h$ ,  $c$  and  $\Delta\nu_{Cs}$ ”.

This definition is based on taking the exact value for the constant

$$K_{cd} = 683 \text{ cd sr kg}^{-1} \text{m}^{-2} \text{s}^3, \quad (26)$$

for monochromatic radiation of frequency  $\nu = 540 \times 10^{12}$  Hz. As a consequence, a candela is the light intensity, in a given direction, of a source that emits monochromatic radiation of frequency  $\nu = 540 \times 10^{12}$  Hz and has a radiating intensity in that direction of  $(1/683)$  W/sr.

For the experimental realization of the candela, several techniques have been proposed [3, 4] such as the practical realization of radiometric units, using two types of primary methods: those based on standard detectors such as the electrical replacement radiometer and photodiodes of predictable quantum efficiency, and those based on standard sources such as Planck’s radiator and synchrotron radiation. In practice, a standard lamp with optimized design is more commonly used to emit in a defined direction and at a long distance from the detector.

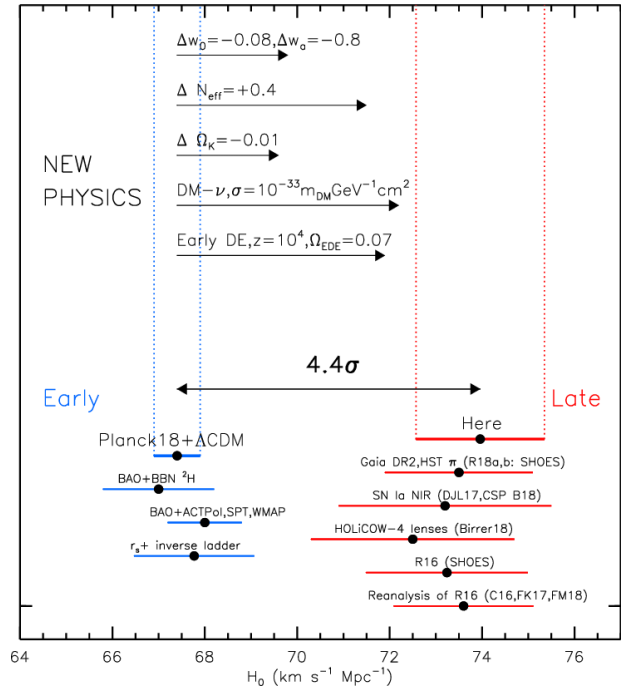


Figure 6: Value differences for the Hubble constant  $H_0$  measured with the Planck 2018 satellite in the early universe and extrapolated with the standard cosmological model (blue) [41], and local measurements made with the cepheid and supernova distance ladders. (Credit Riess et al. [43]).

## B. Quantum Metrology and the New SI

The foundation of the laws of quantum mechanics in the first quarter of the twentieth century allowed us to understand nature on an atomic scale. As a result of that better understanding of the atomic world, applications emerged in the form of new quantum technologies. This first period is known as the first quantum revolution and has produced technologies as innovative as the transistor and the laser. Even today’s classic computers are a consequence of these first-generation quantum advances. With the beginning of the 21st century, we are seeing the emergence of new, second-generation quantum technologies [28] that constitute what is known as the second quantum revolution. Both revolutions are based on exploiting specific aspects of the laws of quantum mechanics. Thus, we can classify these technological revolutions into two groups:

**First Quantum Revolution:** It is based on the discrete character of the quantum world’s properties: energy quanta (such as photons), angular momentum quanta, etc. This discrete nature of physical quantities is the first thing that surprises in quantum physics. (see Fig.20).

**Second Quantum Revolution:** It is based on the superposition principle of quantum states. With it, information can be stored and processed as a result of its quantum entanglement properties (see Fig.21).

In the second quantum revolution, five working areas have been identified that will lead to new technological developments. Enumerating them from least to greatest complexity





Figure 7: Above: Overview of a trapped-ions quantum clock developed by Rainer Blatt's group in the University of Innsbruck laboratory. It is a compact prototype that fits into a small functional space and is marketed by the company Alpine Quantum Technologies [47]. Below: detail of the central part of the clock showing the trap, where ions are confined using electromagnetic fields. (Credit: Rainer Blatt Lab).

are: quantum metrology, quantum sensors, quantum cryptography, quantum simulation and quantum computers.

Quantum metrology is considered one of the quantum technologies with most immediate development. It is the part of metrology that deals with how to perform measurements of physical parameters with high resolution and sensitivity using quantum mechanics, especially exploiting their entanglement properties. A fundamental question in quantum metrology is how accuracy scales when measured in terms of the variance  $\Delta m$ , used to estimate a physical parameter, with the number of particles used  $N$  or repetitions of the experiment. It turns out that the classical interferometers for light, electrons etc. cannot overcome the so-called shot-noise limit [31–33] given by

$$\Delta m \geq \frac{1}{\sqrt{N}}, \quad (27)$$

whereas with second-generation quantum metrology it is possible to reach the Heisenberg limit given by

$$\Delta m \geq \frac{1}{N}. \quad (28)$$

An example of a very important application of quantum metrology to basic research is the detection of gravitational waves by experiments such as LIGO (Laser Interferometer Gravitational-Wave Observatory) [34] (see Fig.22), where

you need to measure distances between separate masses of the order of a few kilometers with a very high precision (thousandth of the diameter of a proton). These variations in distance occur in the lengths of the interferometer arms when a gravitational wave passes through them. Using ‘squeezed light’, a form of quantum optics [36], the sensitivity of interferometers can be improved according to the quantum limit (67) [37–39].

The LIGO-type experiment measures may have another basic application to try to elucidate the controversy that has recently arisen with the Hubble constant  $H_0$ . In the standard cosmological model denoted by  $\Lambda$ CDM ( $\Lambda$ =dark energy, CDM=cold dark matter)  $H_0$  measures the speed with which the universe is currently expanding according to Hubble’s law. It is a parameter of capital importance in cosmology. There are two sources of measures that give discrepant values. On the one hand, the value provided by the Planck satellite in 2018 by analyzing the microwave radiation background of the early universe and extrapolating the Hubble parameter to its current value with the standard model  $\Lambda$ CDM gives a value of  $H_0 = 67.4 \pm 0.5$  kilometers per second and per megaparsec distance [41]. On the other hand, measurements made in the current universe using distance ladders based on cepheids and type 1a supernovae result in  $H_0 = 74.03 \pm 1.42 \text{ kms}^{-1} \text{ Mpc}^{-1}$  [42]. This discrepancy implies a statistical confidence of 4.4 sigma (standard deviations), very close to the 5 sigma barrier that is considered as clear evidence that they are different results. If that were the case, it would amount to new physics that the standard model has not taken into account (see Fig.23). In addition, to increase the controversy, there is also a measure of the current universe with another distance ladder that yields an intermediate value between the two discrepant,  $H_0 = 69.8 \text{ kms}^{-1} \text{ Mpc}^{-1}$  [44]. All measurements made with the current universe give values above the values obtained with the early universe and the standard model. Then, either there are systematic errors, or it may be the indication of new physics beyond the current cosmological model, such as the existence of dynamic dark energy, to name just one possible example [43].

LIGO experiments can be very useful in the future to elucidate this controversy, one more, about the Hubble constant. This time, it is not about analyzing black hole collisions as in the original discovery of gravitational waves, but about binary neutron star collisions. It turns out that when two neutron stars merge, the resulting gravitational waves can be used to obtain information about the position of the stars, and hence the galaxies where they are found. By making statistics of at least 50 events of these collisions one could have a direct measure of the Hubble constant with an accuracy not achieved to date and resolve the dispute [45]. And recent results improve these expectations. It has already been possible to detect a neutron star fusion event useful to estimate the Hubble constant, whose resulting value is precisely  $H_0 = 70 \text{ kms}^{-1} \text{ Mpc}^{-1}$  with an uncertainty of the order of  $\sim 7\%$  [46]. It is estimated that with 15 events the error can be reduced to 1% and begin to resolve the discrepancy.

Let us look now at three important examples of applications of quantum metrology to the new SI, both from quantum

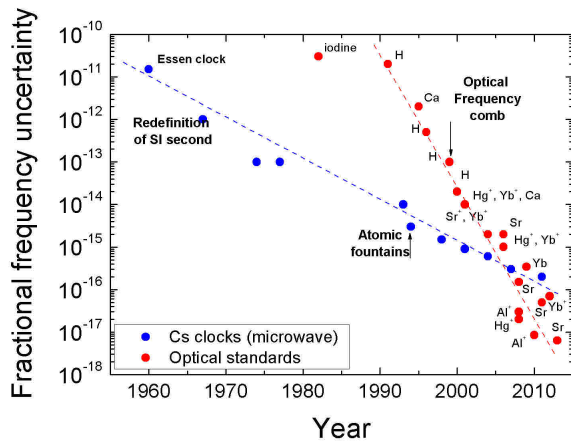


Figure 8: Comparison of the recent temporal evolution of uncertainties in cesium atomic (microwave) clocks and quantum (optical) clocks: trapped ions and neutral atoms in optical networks. There is clearly a change in trend with a gain of accuracy in quantum clocks. (Credit: Reproduced with kind permission of Società Italiana di Fisica from N. Poli et al. [40]).

technologies of first and second revolution.

### 1. Quantum Clocks

The basic mechanism of a clock consists of a system with very stable periodic oscillations where each period defines the unit of time such that the clock counting those periods, measures time. In the past, natural periodic movements such as that of the Earth around its axis or around the sun have been used, as well as mechanical oscillators such as pendulums or quartz crystal resonators. In the 60s of the last century, atomic oscillations began to be used to measure time using cesium atoms for their greater accuracy and stability than mechanical systems. The current reference to define the time standard is cesium 133 using the resonance frequency corresponding to the energy difference between the two hyperfine levels of its fundamental state (see X A). Cesium atomic clocks can typically measure time with an accuracy of one second in 30 million years. In general, the accuracy and stability of an atomic clock is greater the higher the frequency of the atomic transition and the smaller the width of the electronic transition line. If we make the frequency of the oscillator bigger we can increase the resolution of the clock by reducing the period we use as a reference.

Atomic clocks have allowed us to improve multiple technological developments that we are used to in our daily lives: controlling the frequency of television broadcasting waves, global satellite navigation systems such as GPS, financial transactions, internet, mobile phones etc. .

The new quantum clocks are a type of atomic clocks where the increase in accuracy is due to using atomic transition frequencies in the optical range instead of the microwaves used by cesium clocks. Optical frequencies of visible light are

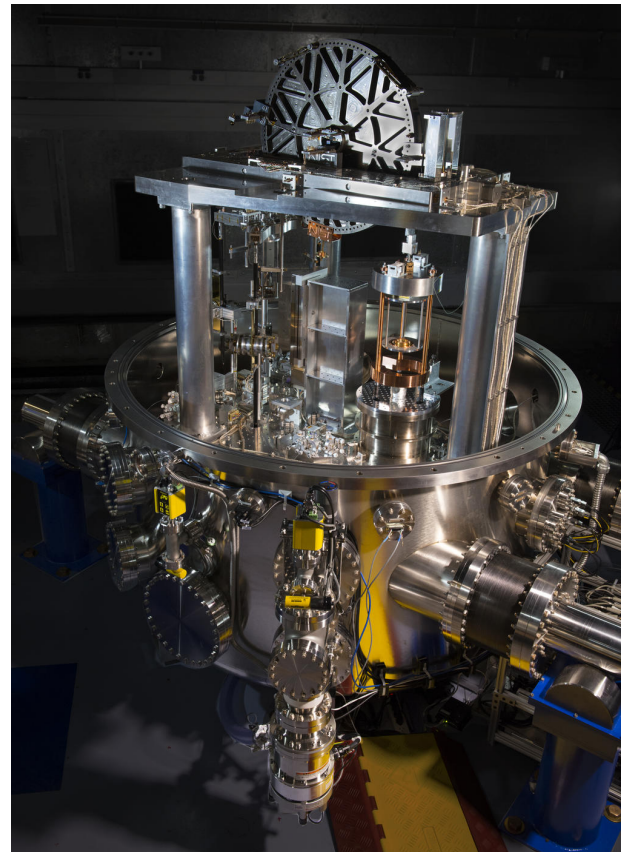


Figure 9: Kibble NIST-4 balance used to measure the Planck constant  $h$  with an uncertainty of 13 parts in one billion in 2017, contributing to the redefinition of the kilogram as a unit of mass in the new SI in 2019. (Credit NIST).

about five orders of magnitude greater than microwaves. In order to make this leap, it was necessary to use ion traps (see Fig.24) with quantum logic techniques used in quantum computing [48, 49], a part of the second revolution quantum technologies [50–52]. Quantum clocks achieve an uncertainty of only one part in  $10^{17}$ s, which is equivalent to an error of a second in a quantum clock that would have begun ticking 13.7 billion years ago, what represents the whole age of the universe. An ion clock is an instance of quantum clock, which is based on quantum logic and is an example of cooperation between two ions where each provides complementary functionalities. For example, the aluminum ion  $Al^{+}$  has a transition frequency in the optical range that is useful for the clock reference frequency. However, its atomic level structure makes it a bad candidate to cool it down to the temperatures necessary for stabilization. Instead, this is possible with a beryllium ion  $Be^{+}$ . Using quantum computing protocols, information on the internal state of the spectroscopic ion  $Al^{+}$ , after probing its transition with a laser, can be faithfully transferred to the logical ion  $Be^{+}$ , where this information can be detected with almost 100% efficiency [53]. Each ion species provides a different functionality, the reference frequency or the cooling method, and the quantum entanglement between the states of both ions allows them to function as a quantum clock alto-

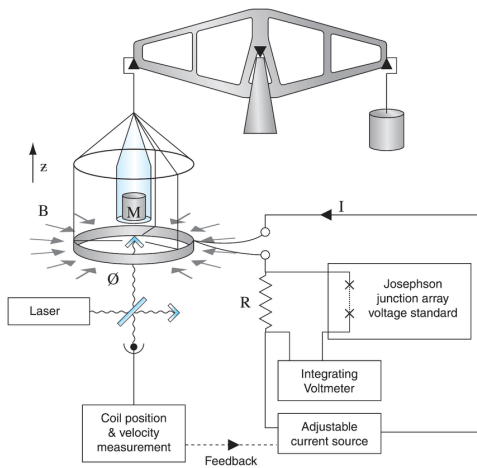


Figure 10: Kibble balance operating in weighing mode. Explanations in the text. (Credit Robinson-Schlamming [63]).

gether.

Current quantum clocks use either a) one or two trapped ions, or b) ultra-cold atoms confined in electromagnetic fields in the form of optical lattices.

Each of these realizations has pros and cons. Ion clocks have a very high accuracy for they can confine the ion by cooling it down in a trap so that we get very close to the ideal of an isolated system from external disturbances. However, by using only one ion for the absorption signal, less stability is achieved as the ratio of the signal to external noise gets reduced. On the contrary, clocks of atoms in optical lattices can work with a large number of atoms achieving greater stability and a better signal-to-noise ratio.

Different teams working with both options are developing techniques to get better and better performances. The most recent record with trapped ions has an uncertainty of  $9.4 \times 10^{-19}$ s [54]. Quantum clocks in optical lattices also achieve  $10^{-18}$ s accuracy. There is still time to decide which of the two alternatives will be chosen to realize a new revision of the second, or whether both of them are complementary (see Fig.25).

The improvements in time measurement provided by quantum clocks also have important applications. The technological applications are similar to those mentioned above and it is of great interest to be able to send one of these quantum clocks in space missions and to improve navigation systems. Another application is the high precision measurement of the gravitational field for, according to Einstein's general relativity, there is a time dilation due to gravitational effects in addition to the speedup due to velocity. With a quantum clock you can distinguish gravitational fields only 30 cm high [55], and even less. These measures will allow to better define the heights above sea level, since this is not measured in the same way in different parts of the world and is crucial to know the activity of the oceans. Similarly, these quantum devices can be applied to geodesy, hydrology and telescope network synchronization.

Basic research is one of the first fundamental applications of them. Comparing the operation of several quantum clocks

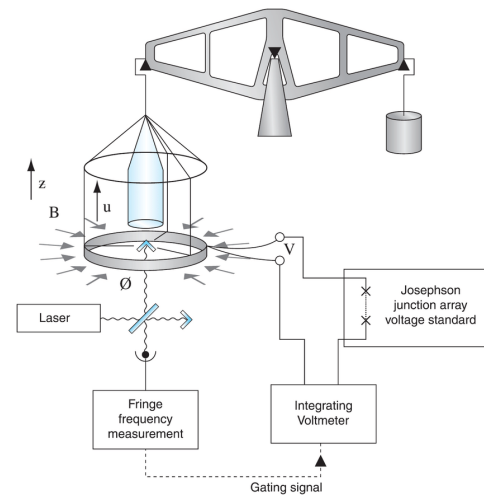


Figure 11: Kibble balance operating in moving mode. Explanations in the text. (Credit: Robinson-Schlamming [63]).

over time we can discover if any of the fundamental constants of physics changes with time, which is essential to find new physics and to define the base units according to the new SI (see X A). Examples of fundamental constants that can be probed for their temporal dependence are the electromagnetic fine structure constant  $\alpha$  (40) and the ratio of the proton to the electron mass  $\mu := m_p/m_e$ . In the past there has been controversy over possible temporal variations of  $\alpha$  and  $\mu$  detected by measures of atomic transitions in distant quasars compared to current measurements in the laboratory [56, 57]. It so happens that all atomic transitions functionally depend on  $\alpha$  and also hyperfine transitions depend significantly on the  $\mu$  ratio. It turns out that quantum clocks allow to improve the levels of variation of these fundamental constants. With these experiments, the ratio of optical frequencies between ions of  $\text{Al}^+$  and  $\text{Hg}^+$  can be measured providing a bound to the time variation for  $\alpha$  of  $-1.6 \pm 2.3 \times 10^{-17}$  per year, and with the ytterbium ion  $\text{Yb}^+$  a bound for  $\mu$  of  $0.2 \pm 1.1 \times 10^{-16}$  per year, which are better by a factor of ten than the astrophysical measurements [58, 59]. These negative results for the temporal variation of the fundamental constants serve as justification for the new SI unit system and its universality regardless of space and time, at least as long as the experiments continue to confirm such results.

## 2. Kibble Balance

The Kibble balance is the current experimental realization of the unit of mass through the quantum way in the new SI [60–63]. In this way, we are fulfilling the new methodology of separating unit definitions from their practical materialization (see VIII). Whereas the definition of the new kilo linked to the Planck constant has already been explained in X A, we will now see how to realize it in the laboratory with current technology.

The realization of the ‘quantum kilo’ consists of two dis-

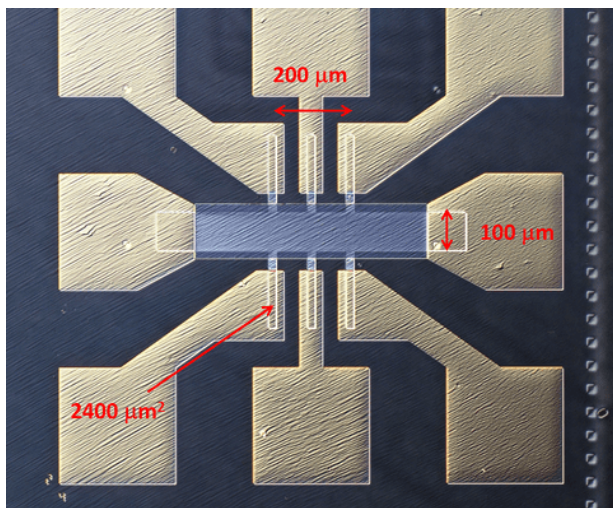


Figure 12: An example of an integer quantum Hall effect device used by NIST to measure resistances. This Hall bar uses graphene components that are outlined by white lines. The source and drain of electrons are at the left and right ends of the bar. The electrical contacts above and below the bar are not shown. (Credit NIST).

tinct parts: a) the Kibble balance and b) the quantum determination of the electric power. The Kibble balance (see Fig.26) aims to establish the equivalence of a mechanical power into electrical power. This is then related to Planck's constant through metrology procedures of the first quantum revolution: integer quantum Hall and Josephson effects.

Let us start with the Kibble balance. We present a simplified discussion, but sufficient to understand its foundations. It looks like an ordinary balance in which it also has two arms, but while in the ordinary balance two masses are compared, one standard and another unknown, in Kibble's we compare gravitational mechanical forces with electromagnetic forces. Its functioning consists of two operating modes: i/ Weighing Mode and ii/ Moving Mode.

**Weighing Mode:** A test mass  $m$  is available in one of the arms, which could be for example the IPK standard. On the other plate, a circuit of electric coils is mounted where a current  $I$  is passed through (see Fig.27). The circuit is suspended in a very strong magnetic field created by magnets with a stationary and permanent field  $B$ . The length of the circuit is  $L$ . Then, the current induces an electromagnetic field that interacts with the constant magnetic field of the magnet. The resulting vertical electromagnetic force is equal to the weight of the test mass,

$$BLI = mg. \quad (29)$$

During this operating mode, the intensity of direct electric current is measured very accurately by appropriate instruments (integer quantum Hall effect), and it is proportional to the vertical force. The current is adjusted so that the resulting force equals the weight of the test mass. □

**Moving Mode:** This is a calibration mode that is necessary as the quantity  $BL$  is very difficult to measure accurately. Were

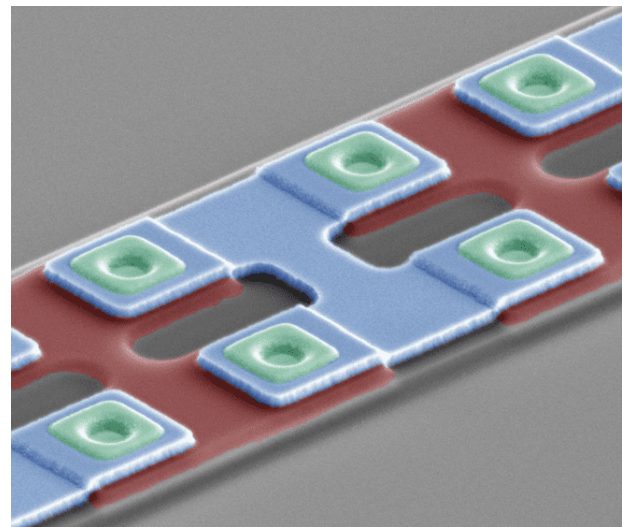


Figure 13: Close-up view of a modern Josephson junction used in NIST. Josephson's junctions are built in green circular wells where the two superconducting layers overlap. See explanation in text. (Credit: M. Malnou/NIST/JILA).

it not for this, the weighing mode would suffice. An electric motor is used to move the wire circuit vertically through the external magnetic field at a constant speed  $v$  (see Fig.28). This movement induces a voltage  $V$  in the circuit whose origin is also a Lorentz force and is given by,

$$BLv = V. \quad (30)$$

During this operating mode, the voltage is measured very accurately by appropriate instruments (Josephson effect), and therefore the magnetic field that is proportional. Laser sensors are also used to monitor the vertical movement of the electrical circuit by interferometry. With this, variations of the order of the laser's semi-wavelength used can be detected. In all, it is ensured that the vertical movement happens at constant speed and the constant magnetic field can be measured. □

The result of comparing the weighing mode with the moving mode, eliminating the quantity  $BL$ , is the equivalence between mechanical and electrical powers:

$$mgv = IV. \quad (31)$$

Although it is usual to call the Kibble balance as a power or watt balance, however, note that the Kibble balance does not measure real, but virtual, powers. This point is of crucial importance in metrology: were the mechanical power really measured, then the device would be subject to uncontrollable friction losses; otherwise, if the electrical power were measured directly, then it would be subject to heat dissipation. We see that the moving mode is essential and provides adequate calibration.

It turns out that experimentally it is more accurate to measure resistance than current intensities. Using Ohm's law, we can obtain the mass on the Kibble balance based on resistance

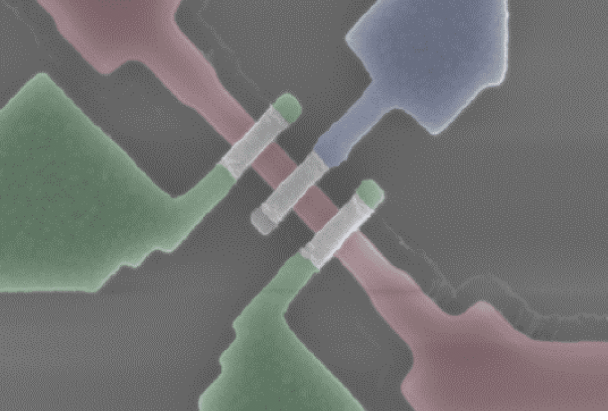


Figure 14: Example of a single-electron transport device (SET) used in the NIST for the definition of the ampere. The interaction between the blue and green electrodes (gates) controls the movement of individual electrons in and out of an “island” in the center. Explanations in the text. The colors are illustrative only. (Credit NIST).

and voltage measurements:

$$m = \frac{V_R V}{g v R}, \quad (32)$$

where  $V_R$  and  $V$  are the two necessary voltage measurements.

In the second part of the experimental realization of the ‘quantum kilo’ we need to relate the electrical power in (70) to the Planck constant  $h$ . This is done through the measurement of the electric intensity  $I$  in the weighing mode and the voltage  $V$  in the moving mode of the Kibble balance. For this, the following quantum effects are used.

**Integer Quantum Hall Effect:** a two-dimensional sample contains electrons constrained to move in that plane subject to a longitudinally aligned coplanar electric field and a very intense constant magnetic field  $B$  applied perpendicularly to the sample (see Fig.29). In addition, the electronic sample is cooled down to temperatures nearby the absolute zero. Then, the system departs from the classical Ohm’s law and enters into a quantum regime. As in the classic case, a transverse electric current appears that induces a transverse voltage bias called Hall voltage  $V_H$ . The electron system enters a new quantum behavior characterized by the appearance of jumps and plateaus in the relationship between the transverse current and the magnetic field [64]. In particular, the Hall resistance  $R_H$  associated to that Hall potential is quantized

$$R_H = \frac{1}{n'} \frac{h}{e^2}, \quad (33)$$

where  $n'$  is an integer, giving rise to those plateaus appearing in the curves of the Hall resistivity. The von Klitzing constant  $R_K$  is defined as

$$R_K := \frac{h}{e^2}, \quad (34)$$

which has dimensions of resistance and is the elementary resistance. The integer quantum Hall effect allows resistance

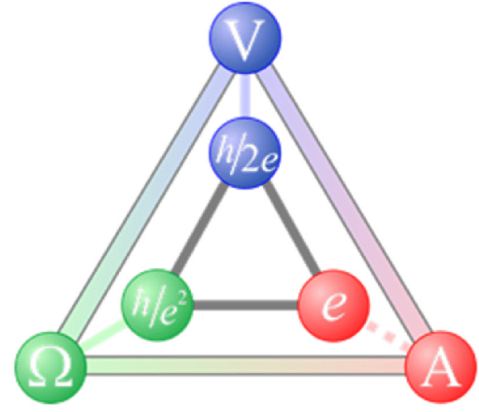


Figure 15: Quantum metrological triangle: schematic relationship between the universal constants of the Hall effect (73), Josephson effect (75) and the charge of the electron in a SET device. The triangle establishes a constraint between them and the Planck constant  $h$  and the elementary charge  $e$ . (Credit: Piquemal et al. [67]).

to be measured with an uncertainty of a few parts in  $10^{-11}$  ohms. For this reason it is used to perform the resistance standard [1–3].  $\square$

**Josephson Effect:** when a superconducting wire is interrupted at a point with a contact made of insulating material that joins two superconducting portions, the superconducting current can be maintained due to a tunnel effect of the superconducting Cooper pairs. This is known as a Josephson junction (see Fig.30). Under these circumstances, if a radiofrequency radiation  $\nu$  is applied, a potential  $V$  is induced through the junction that is proportional to the frequency and is quantized [65, 66]:

$$V_J = n \frac{h}{2e} \nu, \quad (35)$$

where  $n$  is an integer,  $2e$  is the Cooper pair charge and the Josephson constant is defined as

$$K_J := \frac{2e}{h}. \quad (36)$$

This is the so-called Josephson DC effect and Josephson junctions can be made with metallic points or with constrictions, in addition to insulators. It allows measuring voltages with an uncertainty of  $10^{-9,-10}$  volts, that is, of the order of nano volts or less. For this reason it is used for the realization of the voltage standard [1–3].  $\square$

Now we can relate the test mass (71) that is used in the weighing mode with the Planck constant that appears when measuring the resistance, also in the weighing mode, and the voltage in the moving mode. Using the integer quantum Hall effect (72) to measure the resistance and the Josephson effect (74) to measure the voltages  $V_R$  and  $V$ , we obtain the desired relationship

$$m = \left( n' n_1 n_2 \frac{\nu_1 \nu_2}{4 g v} \right) h, \quad (37)$$

where the integer numbers that appear come from the concrete measurements of the corresponding quantum effects (72), (74). To measure  $g$  a high precision absolute gravimeter is used and  $v$  with interferometric methods. With all these high precision measures, the expression (76) has a dual utility: on the one hand, given a standard mass  $m$  like that of the old IPK, we can determine  $h$  with great precision. On the other hand, since  $h$  can be measured with this method with great precision, we can set this value of  $h$  as exact and define the unit of mass based on  $h$ : this way we can carry out the ‘quantum kilo’ route and detach the mass unit from the kilo IPK artifact.

### 3. Quantum Metrology Triangle

The new definition of the ampere linked to the value of the electron elementary charge  $e$  stands out for its clarity and simplicity compared to the old definition based on the Ampere’s law and an unrealizable construction using infinite and null-thick conductor wires [4]. However, it also entails the need to materialize it in some way, and it is not easy for the number of electrons in an ordinary system is immensely large. The BIPM has approved three methods for the practical realization of the ampere [2–4]. One of them uses the direct definition of ampere  $A = C/s$  and a single-electron transport device (SET), which has to be cooled to temperatures close to absolute zero (see Fig.31). Through a SET, electrons pass from a source to a drain. A SET consists of a region made of silicon, called an island, between two gates that serve to electrically manipulate the current. The island temporarily stores the electrons coming from the source using another voltage gate. By controlling the voltages at the two gates, you can get a single electron to remain on the island before moving to the drain. Repeating this process many times and very quickly, it is possible to establish a current from which its electrons can be counted.

The electrical sector is the most quantum of them all within the SI system of units. Now that the ampere has been redefined in the new SI by linking it to a fixed value of the electron charge, it is possible to relate the three magnitudes that appear in Ohm’s law,  $V = IR$ , in terms of only two universal constants,  $h$  and  $e$ . This is visualized by the so-called quantum metrological triangle (see Fig.32). This triangle represents an experimental constraint that the voltage, resistance and intensity standards must fulfil, so that the three are not independent. Thus, if we measure Josephson’s constant (75) on the one hand and von Klitzing’s on the other (73), they allow us to obtain values for the unit of charge  $e$  of the electron that must be compatible, within experimental uncertainties, with the value of  $e$  obtained with a single-electron transport. And the same goes for any pair of magnitudes that we take in the triangle. Therefore, the quantum metrological triangle allows us to test experimentally, as better accuracy and precision are achieved, whether the constants  $h$  and  $e$  are really constants as assumed in the new SI. The uncertainties in these constants must be compatible using these three experimental realizations. If at some point these uncertainties do not overlap, then this is an indication of new physics as it would affect

the very foundations of quantum mechanics or quantum electrodynamics as explained in section IX. Again, this is an example of how the Metrology not only serves to maintain unit standards, but to open up new paths to new fundamental laws of nature.

## V. A ‘GRAVITATIONAL ANOMALY’ IN THE SI

Despite the fact that the new system of SI units amounts to a complete linking from the base units to fundamental constants of nature, it is still striking the absence of one of the oldest universal constants of Physics: Newton’s universal gravitation constant  $G$  (see Fig.33), colloquially called big  $G$ , as opposed to the small  $g$  representing local acceleration of gravity at a point on Earth.

The main reason to exclude  $G$  from the new SI system of units is the lack of precision enough to define a unit of mass. As explained in X A, this is the origin of the ‘quantum way’ for the definition of the kilo when you want to detach it from a material artifact such as the cylinder of the kilo IPK. This fact is related to the so-called ‘Newton’s Big G Problem’ [68–71]. This problem is the lack of compatibility of the  $G$  measures in the last thirty years. Various metrology laboratories around the world have tried to measure  $G$  with experimental devices designed to reduce uncertainty in the value of  $G$ . The result is surprising:  $G$  values do not converge to a consistent single value and their uncertainties do not overlap in a compatible way. This can be seen in Fig.34, which shows the results of multiple experiments and a vertical zone where a  $G$  commitment value is chosen. The situation has become desperate and the NSF (National Science Foundation) has launched a global initiative trying to clarify the problem [72].

A fundamental question then arises: what is the origin of Newton’s big  $G$  problem? The most natural solution is that it is due to possible systematic errors in the experiments. Favoring this interpretation is the fact that, despite the increasing sophistication trying to measure  $G$  more accurately, all the experimental methods used are variants of the famous Cavendish balance [73, 74]. However, in Fig.34 there appears a value [75] whose experimental method is completely different from the methods based on the Cavendish balance. It is a quantum method of measuring  $G$ . Their device uses a technique based on atomic interferometry with ultra-cold atoms. With it, the quantum nature of atoms is used at temperatures close to absolute zero, to obtain an accurate measure of the acceleration of gravity.

The Cold Atoms in Gravity (CAG) method consists of 2 steps: Step 1: measure of the constant small  $g$ : value of the local terrestrial gravity. Step 2: measure of the constant big  $G$ .

The technique consists of turning cold atoms vertically, up and down, repeatedly. This serves to probe Earth’s gravity with a cloud of rubidium atoms Rb in free fall. With this procedure it is possible to measure the force of gravity between an atom of Rb and a reference mass of 516 kg. The result is a measure of  $G$  with a relative uncertainty of 0.015%. Remarkably, it is the first time that a quantum method is admitted to

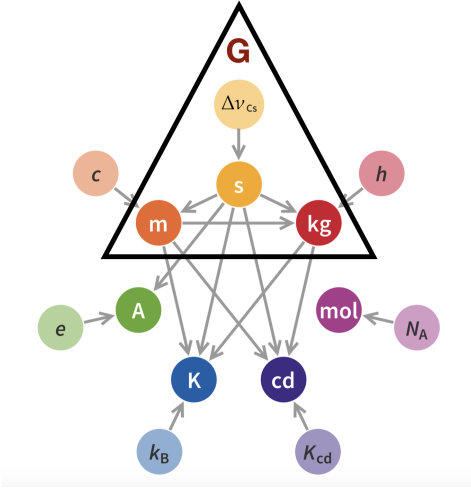


Figure 16: The scheme with the dependencies of the natural constants and the base units of the new SI in Fig.19 presents a notable absence: the constant  $G$  of Newton’s universal gravitation. The triangle encompasses the excluded  $G$  with the units on which it depends (52) that are the same as Planck’s constant  $h$  (51), but in another proportion. Credit: Emilio Pisanty/Wikipedia (adapted).

be part of the set of values used to determine  $G$ .

This gravitational anomaly is still a reflection of the big problem that affects modern physics: the lack of compatibility between the two great theories of our time, quantum mechanics and general relativity. An important observation (see Conclusions) is that the CAG method is an indirect measurement method for Newton’s big  $G$ : it is done by first measuring small  $g$ . This contrasts with the classic methods based on the Cavendish balance where  $G$  can be measured directly. A direct quantum measure of  $G$  would be a first experimental indication of quantum effects on gravity and a first step for a quantum gravity theory. As seen in Fig.34, the CAG value is still outside the shaded vertical zone of the most recent recommended value for  $G$ . This may be indicative that the CAG method does not suffer from possible systematic errors as in the classical methods of measurement of  $G$  and could be the beginning for the solution of Newton’s big  $G$  problem. The way to confirm this hypothesis is to encourage more CAG experiments in more independent laboratories and use quantum metrology techniques to reduce their uncertainties. If the result of all these new classical and quantum experiments were that there are no systematic errors, then the conclusion would be even more exciting as it would be again a door opened by metrology to new physics.

Direct methods to measure  $G$  are not known. In fact, there are few physics equations where  $G$  and  $h$  appear together. One of them can help us to see the difficulties of getting a direct quantum method to measure  $G$ . This is the equation of the Chandrasekhar limit for the radius of a white dwarf star. If we thought naively of producing a gravitational condensate of nucleons (fermions) that were the result of compensating the gravitational pressure of  $N$  nucleons of mass  $M$  with the degeneration pressure due to the Pauli exclusion principle, using

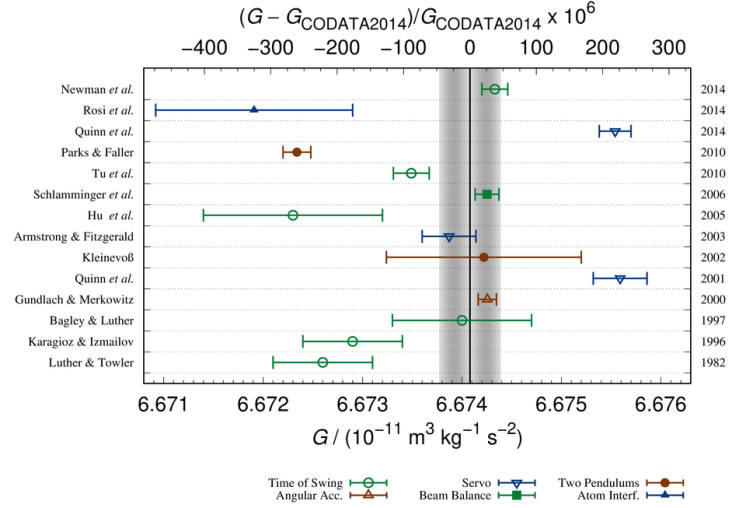


Figure 17: Comparative diagram of the measurements of the constant  $G$  over time using classical methods based on variants of the torsion balance, except that of Rossi et al. [75] using the Cold Atoms in Gravity (CAG) method. (Credit: NIST [68]).

non-relativistic quantum mechanics and Newtonian gravitation to simplify, we get [76] a value of the equilibrium radius given by

$$R_0 = \left(\frac{9\pi}{4}\right)^{2/3} \frac{\hbar q^{5/3}}{GmM^2 N^{1/3}}, \quad (38)$$

where  $N$  is the number of nucleons and  $q$  the number of electrons per nucleon with mass  $m$ . It has been assumed that the density of the spherical condensate is uniform. To make a simple estimate, consider a system of only neutrons ( $q = 1$ ,  $m = M_n$  mass of the neutron), and substituting the known experimental values, we obtain

$$R_0 = 5.51 \times 10^{24} N^{-1/3} \text{m}. \quad (39)$$

If we want to have a fermion system condensed in a sphere with a radius of the order of one meter to be manageable in a terrestrial laboratory, we can estimate the number of necessary neutrons obtained with (78) as something of the order of  $N \sim 10^{74}$ , an intractable amount if we take into account that the number of atoms in the observable universe is of the order of  $10^{80}$ . This difficulty is a reflection of the disparity of scales where gravity acts against quantum effects.

## VI. CONCLUSIONS

The adoption of the new SI system of units brings several concrete advantages over the previous system: it solves the ampere problem and the electrical units that had been left out of the SI, it eliminates the dependence of the kilo with the artifact of the kilo IPK, conceptually it is more satisfactory to define them in terms of natural constants, future technological improvements will no longer affect the definitions etc.

The new SI of units has no direct impact on our daily life, but it does in research laboratories and in national metrology centers where they need measures of great accuracy and precision to conduct these investigations and to guard and disseminate the primary unit standards. As usual, in the long run these new discoveries result in applications that do modify our daily life for the better.

Therefore, it is a great conceptual challenge to explain and convey what it entails and is behind the new system of units. In section X A a common view of all the new definitions has been presented using as an unifying principle the discrete nature of energy, matter and information in the fundamental laws of Physics and Chemistry to which each base unit is linked. Interestingly, the only thing that remains non-discrete is spacetime. An advantage of the new SI is that it facilitates the explanation of the new definitions as it does not need to explain the measuring devices necessary to perform these units.

Metrology has a double mission: 1) To maintain the unit standards and their definitions compatible with the current laws of physics. 2) To measure with increasing accuracy and precision in order to open new doors to discover new laws of physics.

As for its more traditional mission 1), the adoption of the new SI allows to get rid of a material device to define the kilo, which was a long sought-after goal. With this, it is possible to materialize primary standards of the base units in different national metrology centers for the first time. In particular, quantum metrology will drastically change the dissemination and traceability of units by ensuring that they can be materialized autonomously without the need for a single stored standard.

It is interesting to note that in the course of the construction of the new SI the three most famous balances of physics have appeared: Cavendish [73, 74], Eötvös [19] and Kibble [63]. As well as the seminal papers of Einstein in his *annus mirabilis* 1905 [7, 14, 16, 17].

As for the second mission, we have seen how the new SI uses five universal constants of nature. Of these, three have

a special status,  $c$ ,  $h$  and  $e$ , as they are associated with symmetry principles of the universe, such as the principle of relativity, unitarity and gauge symmetry. The other two are the Boltzmann constant  $k$  and the Avogadro constant  $N_A$ , neither of which has an associated symmetry.

Now that the physical units are defined by the fundamental physics of the universe, and not by a human construct using artifacts, then as for the fundamental constants of the universe: Are they a machination of something? Why do they take those values? And until when? We have thus reached the most fundamental questions of physics. That is why metrology really goes beyond maintaining measurement standards.

### Acknowledgments

These notes are the result of several lectures given during 2017, 2018 and 2019. I would like to thank the organizers José Manuel Bernabé and José Ángel Robles from Centro Español de Metrología (CEM) for their kind invitation to the 6<sup>o</sup> Congreso Español de Metrología (2017), to 8<sup>o</sup> Seminario Intercongresos de Metrología (2018) and the Congreso del 30 Aniversario del CEM (2019); to Alberto Galindo and Arturo Romero from Real Academia de Ciencias Exactas, Físicas y Naturales de España for their kind invitation to Ciclo Ciencia para Todos (2018) and Jornada sobre “La revisión del Sistema Internacional de Unidades, (SI). Un gran paso para la ciencia” (2019); to Federico Finkel and Piergiulio Tempesta for their kind invitation to the homage of Artemio González López on the occasion of his 60th anniversary. M.A.M.-D. acknowledges financial support from the Spanish MINECO, FIS 2017-91460-EXP, PGC2018-099169-B-I00 FIS-2018 and the CAM research consortium QUITEMAD+, Grant S2018-TCS-4243. The research of M.A.M.-D. has been supported in part by the U.S. Army Research Office through Grant No. W911N F-14-1-0103.

- 
- [1] 26th General Conference on Weights and Measures (CGPM) Towards a historic revision of the International System of Units (SI). Press kit. Available online: <https://www.bipm.org/utis/en/pdf/CGPM-Press-Kit.pdf>.
- [2] The International System of Units (SI). Bureau International des Poids et Mesures (9ed). Available online: <https://www.bipm.org/utis/en/pdf/si-revised-brochure/Draft-SI-Brochure-2018.pdf>
- [3] “Redefinición del SI: un SI para el siglo XXI”. Centro Español de Metrología (CEM). Available online: [www.cem.es](http://www.cem.es).
- [4] Bureau International des Poids et Mesures. “Practical realizations of the definitions of some important units”. Available online: <https://www.bipm.org/en/publications/mises-en-pratique/>
- [5] CODATA Recommended Values of the Fundamental Physical Constants: 2018 NIST SP 961 (May 2019). Available online: [https://physics.nist.gov/cuu/pdf/wall\\_2018.pdf](https://physics.nist.gov/cuu/pdf/wall_2018.pdf)
- [6] D B Newell1, F Cabiati, J Fischer, K Fujii, S G Karshenboim, H S Margolis, E de Mirandés, P J Mohr, F Nez, K Pachucki, T J Quinn, B N Taylor, M Wang, B M Wood and Z Zhang; “The CODATA 2017 values of  $h$ ,  $e$ ,  $k$ , and  $N_A$  for the revision of the SI”. *Metrologia*, Volume 55, Number 1, (2018).
- [7] A. Einstein; “Zur Elektrodynamik bewegter Körper” [On the Electrodynamics of Moving Bodies]. *Annalen der Physik* (in German). 17 (10): 891-921, (1905).
- [8] Richard P. Feynman; “Six Easy Pieces”. Perseus, New York 2011.
- [9] Robert P Crease; “The most beautiful experiment”; *Physics World*, Volume 15, Number 9, p.15 (2002).
- [10] Steven Weinberg; “Precision Tests of Quantum Mechanics”. *Phys. Rev. Lett.* 62, 485 (1989).
- [11] J. J. Bollinger, D. J. Heinzen, W. M. Itano, S. L. Gilbert, and D. J. Wineland; “Test of the linearity of quantum mechanics by rf spectroscopy of the  $9\text{Be}^+$  ground state” *Phys. Rev. Lett.* 63, 1031, (1989).
- [12] M. Planck; “Über das Gesetz der Energieverteilung im Normalspectrum” [On the law of the distribution of energy in the normal spectrum]. *Annalen der Physik*. 4th series (in German).



- 4 (3): 553-563, (1901).
- [13] M. Planck; “The Genesis and Present State of Development of the Quantum Theory”. Nobel Lecture. (2 June 1920). Available online: <https://www.nobelprize.org/prizes/physics/1918/planck/lecture/>
- [14] A. Einstein, Albert; “Über die von der molekularkinetischen Theorie der Wärme geforderte Bewegung von in ruhenden Flüssigkeiten suspendierten Teilchen” [Investigations on the theory of Brownian Movement]. *Annalen der Physik* (in German). 17 (8): 549-560, (1905).
- [15] J. Perrin; “Mouvement brownien et réalité moléculaire” [Brownian movement and molecular reality]. *Annales de chimie et de physique*. 8th series. 18: 5-114, (1909).
- [16] A. Einstein; “Über einen die Erzeugung und Verwandlung des Lichtes betreffenden heuristischen Gesichtspunkt” [On a Heuristic Point of View about the Creation and Conversion of Light]. *Annalen der Physik* (in German). 17 (6): 132-148, (1905).
- [17] A. Einstein ; “Ist die Trägheit eines Körpers von seinem Energieinhalt abhängig?” [Does the Inertia of a Body Depend Upon Its Energy Content?]. *Annalen der Physik* (in German). 18 (13): 639-641, (1905).
- [18] L. de Broglie, *Recherches sur la théorie des quanta* (Researches on the quantum theory), Thesis (Paris), 1924; L. de Broglie, *Ann. Phys. (Paris)* 3, 22 (1925).
- [19] S. Schlamminger, Ki-Young Choi, T.A. Wagner, J.H. Gundlach, E.G. Adelberger; “Test of the Equivalence Principle Using a Rotating Torsion Balance”. *Phys. Rev. Lett.* 100 (4): 041101, (2008). [arXiv:0712.0607](https://arxiv.org/abs/0712.0607).
- [20] R. Landauer; “Irreversibility and heat generation in the computing process”, *IBM Journal of Research and Development*, 5 (3): 183-191, (1961).
- [21] C.H. Bennett; “The thermodynamics of computation. A review”. *International Journal of Theoretical Physics*. 21 (12): 905-940, (1982).
- [22] C. H. Bennett; “Notes on Landauer’s principle, Reversible Computation and Maxwell’s Demon”, *Studies in History and Philosophy of Modern Physics*, 34 (3): 501-510, (2003).
- [23] J. M. Diaz de la Cruz and M.A. Martin-Delgado; “Quantum-information engines with many-body states attaining optimal extractable work with quantum control”. *Phys. Rev. A* 89, Issue 3, id.032327 (2014).
- [24] A. Bérut, A. Arakelyan, A. Petrosyan, S. Ciliberto, R. Dillenschneider and E. Lutz “Experimental verification of Landauer’s principle linking information and thermodynamics”, *Nature*, 483 (7388): 187-190, (2012). [arXiv:1503.06537](https://arxiv.org/abs/1503.06537)
- [25] Y. un, M. Gavrilov, J. Bechhoefer; “High-Precision Test of Landauer’s Principle in a Feedback Trap”, *Phys. Rev. Lett.*, 113 (19): 190601, (2014). [arXiv:1408.5089](https://arxiv.org/abs/1408.5089)
- [26] J. Hong, B. Lambson, S. Dhuey, J. Bokor; “Experimental test of Landauer’s principle in single-bit operations on nanomagnetic memory bits”. *Science Advances*. 2 (3): e1501492. (2016).
- [27] R. Gaudenzi, E. Burzuri, S. Maegawa, H. van der Zant and Fernando Luis; “Quantum Landauer erasure with a molecular nanomagnet”, *Nature Physics*, 14 (6): 565-568, (2018).
- [28] “Quantum Manifesto: A New Era of Technology” (2016). Available online: [https://qt.eu/app/uploads/2018/04/93056\\_Quantum-Manifesto\\_WEB.pdf](https://qt.eu/app/uploads/2018/04/93056_Quantum-Manifesto_WEB.pdf)
- [29] A. Galindo and M.A. Martin-Delgado; “Information and computation: Classical and quantum aspects”. *Rev.Mod.Phys.* 74, 347-423, (2002). <https://arxiv.org/abs/quant-ph/0112105>
- [30] R. Sawant, J. Samuel, A. Sinha, S. Sinha, and U. Sinha. “Non-classical Paths in Quantum Interference Experiments”. *Phys. Rev. Lett.* 113, 120406, (2014).
- [31] V. Giovannetti, S. Lloyd, L. Maccone; “Advances in Quantum Metrology”. *Nature Photonics* 5, 222 (2011). <https://arxiv.org/abs/1102.2318>
- [32] W. Nawrocki. *Introduction to Quantum Metrology*. Springer. 2015.
- [33] Ernst O. Göbel and Uwe Siegener. *The New International System of Units (SI): Quantum Metrology and Quantum Standards*. Wiley-VCH. 2019.
- [34] B.P. Abbott et al. “Observation of Gravitational Waves from a Binary Black Hole Merger”. *Phys. Rev. Lett.* 116, 061102, (2016).
- [35] The Nobel Prize in Physics 2017. *Popular Science Background*. Available online: <https://www.nobelprize.org/uploads/2018/06/popular-physicsprize2017-1.pdf>
- [36] M. Orszag. *Quantum Optics*. Springer, 2016.
- [37] Squeezed states of light have amplitude quadrature and phase quadrature associated to the electric part of the electromagnetic waves. They are orthogonal to each other but they are not independent since they satisfy an uncertainty constraint: increasing the precision of one comes at the expense of the other. Since for increasing the sensitivity of a position measurement in the arms of a LIGO interferometer what matters is the amplitude quadrature, the fundamental of using squeezed light in these measurements relies in reducing the uncertainty of the amplitude at the expense of that of the phase that plays no role in the position determination.
- [38] R. Schnabel, N. Mavalvala, D. McClelland, D. et al. *Quantum metrology for gravitational wave astronomy*. *Nat Commun* 1, 121 (2010)
- [39] R. Schnabel, Squeezed states of light and their applications in laser interferometers. *Physics Reports* 684, 1-51 (2017).
- [40] N. Poli, C. W. Oates, P. Gill, G. M. Tino; “Optical atomic clocks”. *Nuovo Cimento* 36, Issue 12, 555-624, (2013). DOI: 10.1393/ncr/i2013-10095-x
- [41] Planck Collaboration, N. Aghanim, Y. Akrami, et al. 2018. <http://arxiv.org/abs/1807.06209>.
- [42] W. D’Arcy Kenworthy, Dan Scolnic, Adam Riess; “The Local Perspective on the Hubble Tension: Local Structure Does Not Impact Measurement of the Hubble Constant”. *The Astrophysical Journal*, Volume 875, Number 2, (2019). <https://arxiv.org/abs/1901.08681>
- [43] Adam G. Riess, Stefano Casertano, Wenlong Yuan, Lucas M. Macri, Dan Scolnic; “Large Magellanic Cloud Cepheid Standards Provide a 1% Foundation for the Determination of the Hubble Constant and Stronger Evidence for Physics Beyond LambdaCDM”. *The Astrophysical Journal*, Volume 876, Number 1, (2019). <https://arxiv.org/abs/1903.07603>
- [44] Wendy L. Freedman, Barry F. Madore, Dylan Hatt, Taylor J. Hoyt, In-Sung Jang, Rachael L. Beaton, Christopher R. Burns, Myung Gyoon Lee, Andrew J. Monson, Jillian R. Neeley, Mark M. Phillips, Jeffrey A. Rich, Mark Seibert; “The Carnegie-Chicago Hubble Program. VIII. An Independent Determination of the Hubble Constant Based on the Tip of the Red Giant Branch”. <https://arxiv.org/abs/1907.05922>
- [45] Stephen M. Feeney, Hiranya V. Peiris, Andrew R. Williamson, Samaya M. Nissanke, Daniel J. Mortlock, Justin Alsing, and Dan Scolnic; “Prospects for Resolving the Hubble Constant Tension with Standard Sirens”. *Phys. Rev. Lett.* 122, 061105, (2019).
- [46] K. Hotokezaka, E. Nakar, O. Gottlieb, S. Nissanke, K. Masuda, G. Hallinan, K. P. Mooley and A. T. Deller; “A Hubble constant measurement from superluminal motion of the jet in GW170817”; *Nature Astronomy* (2019).

- <https://arxiv.org/abs/1806.10596>
- [47] Alpine Quantum Technologies GmbH (AQT). <https://www.aqt.eu>
- [48] J.I. Cirac and P. Zoller, Phys. Rev. Lett. 74, 4091 (1995).
- [49] F. Schmidt-Kaler, H. Häffner, M. Riebe, S. Gulde, G.P.T. Lancaster, T. Deuschle, C. Becher, C.F. Roos, J. Eschner and R. Blatt, Nature 422, 408 (2003).
- [50] S.A. Diddams, Th. Udem, J.C. Bergquist, E.A. Curtis, R.E. Drullinger, L. Hollberg, W.M. Itano, W.D. Lee, C.W. Oates, K.R. Vogel and D.J. Wineland, Science 293, 825 (2001).
- [51] T. Rosenband, D.B. Hume, P.O. Schmidt, C.W. Chou, A. Brusch, L. Loirin, W.H. Oskay, R.E. Drullinger, T.M. Fortier, J.E. Stalnaker, S.A. Diddams, W.C. Swann, N.R. Newbury, W.M. Itano, D.J. Wineland and J.C. Bergquist, Science 319, 1808 (2008).
- [52] C.W. Chou, D.B. Hume, J.C.J. Koelemeij, D.J. Wineland and T. Rosenband, Phys. Rev. Lett. 104, 070802 (2010).
- [53] D. Leibfried, R. Blatt, C. Monroe, and D. Wineland; “Quantum dynamics of single trapped ions”. Rev. Mod. Phys. 75, 281, (2003).
- [54] S. M. Brewer, J.-S. Chen, A. M. Hankin, E. R. Clements, C. W. Chou, D. J. Wineland, D. B. Hume, and D. R. Leibbrandt; “ $Al^+$  Quantum-Logic Clock with a Systematic Uncertainty below  $10^{-18}$ ”. Phys. Rev. Lett. 123, 033201, (2019).
- [55] C.W. Chou, D.B. Hume, T. Rosenband and D.J. Wineland, Science 329, 1630 (2010).
- [56] J. K. Webb, J. A. King, M. T. Murphy, V. V. Flambaum, R. F. Carswell, and M. B. Bainbridge, “Indications of a Spatial Variation of the Fine Structure Constant”; Phys. Rev. Lett. 107, 191101 (2011).
- [57] J. Bagdonaite, P. Jansen, C. Henkel, H. L. Bethlem, K. M. Menten, and W. Ubachs, “A Stringent Limit on a Drifting Proton-to-Electron Mass Ratio from Alcohol in the Early Universe”; Science 339, 46 (2012) .
- [58] N. Huntemann, B. Lipphardt, Chr. Tamm, V. Gerginov, S. Weyers, and E. Peik, “Improved Limit on a Temporal Variation of  $m_p/m_e$  from Comparisons of  $Yb^+$  and Cs Atomic Clocks”; Phys. Rev. Lett. 113, 210802 (2014).
- [59] R. M. Godun, P. B. R. Nisbet-Jones, J. M. Jones, S. A. King, L. A. M. Johnson, H. S. Margolis, K. Szymaniec, S. N. Lea, K. Bongs, and P. Gill, “Frequency Ratio of Two Optical Clock Transitions in  $Yb+171$  and Constraints on the Time Variation of Fundamental Constants”; Phys. Rev. Lett. 113, 210801 (2014).
- [60] B.P. Kibble. ”A Measurement of the Gyromagnetic Ratio of the Proton by the Strong Field Method”. Atomic Masses and Fundamental Constants 5. pp. 545,Äì551, (1975), edited by J. H. Sanders and A. H. Wapstra (Plenum Press, New York).
- [61] B.P. Kibble, I.A. Robinson, J.H. Belliss. ”A Realization of the SI Watt by the NPL Moving-coil Balance”. Metrologia. 27 (4): 173,Äì192.,(1990).
- [62] Peter J. Mohr, Barry N. Taylor, David B. Newell. CODATA Recommended Values of the Fundamental Physical Constants: 2006 Rev.Mod.Phys.80:633-730, (2008)
- [63] Ian Robinson and Stephan Schlamminger; “The watt or Kibble balance: A technique for implementing the new SI definition of the unit of mass”; Metrologia 53(5), September 2016.
- [64] K. v. Klitzing; G. Dorda; M. Pepper, “New method for high-accuracy determination of the fine-structure constant based on quantized Hall resistance”. Phys. Rev. Lett. 45 (6): 494-497, (1980)
- [65] B. D. Josephson, “Possible new effects in superconductive tunnelling”. Phys. Lett. 1 (7): 251-253, (1962).
- [66] B. D. Josephson, ”The discovery of tunnelling supercurrents”. Rev. Mod. Phys. 46 (2): 251-254, (1974).
- [67] F. Piquemal, B. Jeckelmann, L. Callegaro, J. Hällström, T. Janssen, J. Melcher, G. Rietveld, U. Siegner, P. Wright, M. Zeier, “Metrology in electricity and magnetism: EURAMET activities today and tomorrow”; Metrologia 54(5): R1-R24, August 2017.
- [68] NIST News. “Big G Redux: Solving the Mystery of a Perplexing Result”. November 16, 2016. Available online: <https://www.nist.gov/news-events/news/2016/11/big-g-redux-solving-mystery-perplexing-result>
- [69] Terry Quinn; “Measuring big G”. Nature 408, 919-920 (2000).
- [70] Terry Quinn, Harold Parks, Clive Speake, and Richard Davis; “Improved Determination of G Using Two Methods”. Phys. Rev. Lett. 111, 101102, (2013); Erratum Phys. Rev. Lett. 113, 039901 (2014).
- [71] M.A. Martin-Delgado; “Medidas Cuánticas de la Constante G de la Gravitación Universal de Newton”. Ponencia n° R115. 6° Congreso Español de Metrologia. San Fernando de Cadiz. (2017).
- [72] National Science Foundation. “Ideas Lab: Measuring ‘Big G’ Challenge”. Available online: <https://nsf.gov/pubs/2015/nsf15591/nsf15591.htm>
- [73] A. Moreno; “Weighing the Earth: a Newtonian Test and the Origin of an Anachronism”. Science & Education 10(6):515-543, (2001).
- [74] A. Galindo, A. Moreno, A. Benedí y P. Varela; Física, 2º Bachillerato LOGSE, McGraw-Hill, Madrid (1998).
- [75] G. Rosi, F. Sorrentino, L. Cacciapuoti, M. Prevedelli, and G.M. Tino; “Precision measurement of the Newtonian gravitational constant using cold atoms”. Nature volume 510, 518-521 (2014).
- [76] S. Chandrasekhar; “The Density of White Dwarf Stars”. Philosophical Magazine. 11 (70): 592-596, (1931).

## VII. INTRODUCCIÓN

El día 20 de mayo de 2019 coincidiendo con el Día Mundial de la Metrología ha entrado en vigor el nuevo sistema internacional (SI) de unidades que fue aprobado en la asamblea de la 26 Conferencia General de Pesos y Medidas (CGPM) reunida en Versalles del 13 al 16 de noviembre de 2018 [1]. Esto es un logro histórico. Supone la culminación de muchos esfuerzos durante muchos años de trabajo conjunto entre los centros nacionales de metrología de los estados miembros y el BIPM (Bureau International des Poids et Mesures), dando un magnífico ejemplo de colaboración internacional.

La CGPM aprobó revisar en 2018 cuatro de las unidades básicas (el kilogramo, el amperio, el kelvin y el mol). De esta forma, la totalidad de las unidades básicas de medida quedan vinculadas a constantes físicas en vez de a referencias arbitrarias. Esto supone la jubilación del famoso patrón de masa, el kilo IPK [1–3], que era el único patrón ligado a un artefacto material que quedaba. Ahora todas las unidades básicas quedan asociadas a reglas de la naturaleza para crear nuestras reglas de medida [1]. Lo que subyace a todas estas redefiniciones es la posibilidad de realizar medidas a escalas atómicas y cuánticas para realizar las unidades a escala macroscópica.

Aunque la eliminación de artefactos para definir las unidades básicas sirve para garantizar mejor su estabilidad y universalidad, sin embargo el nuevo sistema trae consigo el enorme desafío de explicar su funcionamiento a la sociedad en general, y a los centros educativos. Los artefactos son tangibles (ver Fig.18), mientras que el conocimiento de las leyes fundamentales de la naturaleza física y química dista mucho de ser de amplio dominio público. En este sentido, en X A se presenta un tratamiento unificado de todas las definiciones de las unidades SI usando como marco común la discretización de la energía, la materia y la información que es el ingrediente fundamental de las leyes de la Física y la Química a las que aparecen vinculadas las nuevas unidades SI. Estas notas surgen de varias conferencias de divulgación con el fin explicar la relación de las constantes fundamentales con las nuevas definiciones de las unidades.

Al introducir las constantes de la naturaleza en la sección IX se ha resaltado un rasgo diferenciador entre las cinco constantes universales asociadas a leyes fundamentales de la naturaleza. Mientras que  $h$ ,  $c$  y  $e$  están asociadas a principios de simetría, no es el caso de las constantes de Boltzmann  $k$  y de Avogadro  $N_A$ .

Se presentan todas las nuevas definiciones de las unidades básicas, sin embargo no se hace una presentación exhaustiva de todas sus realizaciones experimentales por ser demasiado técnico para la intención de estas notas. Existe documentación más detallada [2–4]. Excepción aparte merece el caso del nuevo ‘kilo cuántico’, que por ser tan novedoso y la masa algo de uso diario tan habitual, se ha hecho una descripción sencilla del funcionamiento de la balanza de Kibble con la que se lleva a la práctica su materialización.

El resto del artículo se organiza como sigue: en la sección VIII se explica la nueva metodología de separar las definiciones de las unidades de sus realizaciones experimentales; en la sección IX se describen las constantes fundamentales de la



Figure 18: El prototipo internacional del kilogramo IPK, guardado en el BIPM cerca de Paris, y sus seis copias oficiales, *témoin*s. (Crédito: BIPM).

Constante	Valor
$h$	$6.62607015 \times 10^{-34} \text{J s}$
$e$	$1.602176634 \times 10^{-19} \text{C}$
$k$	$1.380649 \times 10^{-23} \text{JK}^{-1}$
$N_A$	$6.02214076 \times 10^{23} \text{mol}^{-1}$

Table III: Los valores CODATA 2018 [5, 6] para las constantes universales cuyo valor ha sido fijado para definir el kilo, el amperio, el kelvin y el mol en el nuevo SI de unidades puesto en vigor por el BIPM desde el 20 de mayo de 2019.

naturaleza que aparecen en la nueva definición de las unidades SI como preparación a la definición explícita en la sección X A de las siete unidades básicas, así como la descripción en X B del papel de la metrología cuántica en el nuevo SI a través de tres ejemplos: los relojes cuánticos, la balanza de Kibble y el ‘kilo cuántico’, y el triángulo metrológico cuántico. En la sección XI se reflexiona sobre la ausencia de la constante de la gravitación universal  $G$  en el nuevo sistema de unidades y sus implicaciones. La sección XII se dedica a conclusiones.

## VIII. EL NUEVO SI DE UNIDADES

El nuevo Sistema Internacional (SI) de unidades que ha entrado en vigor el 20 de mayo de 2019 representa una gran

revolución a todos los niveles pues por primera vez todas las unidades se vinculan a constantes de la naturaleza, muchas de ellas universales, y constituye un sueño de la Física y la Química hecho realidad.

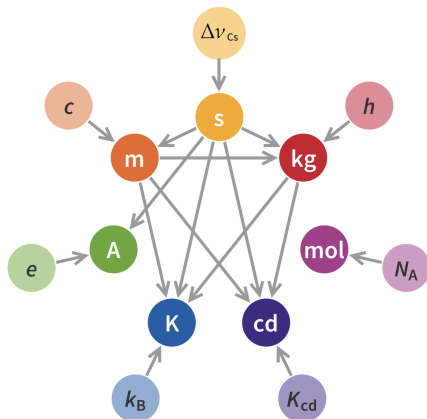


Figure 19: Relación esquemática entre las unidades básicas del nuevo SI y sus constantes naturales asociadas. En la parte central aparecen las unidades y sus dependencias entre sí: el segundo influye en la definición de cinco unidades, mientras que el mol aparece desacoplado. En la parte exterior aparecen los símbolos de las constantes que sirven para su definición. Ver subsección X A. (Crédito: Emilio Pisanty/Wikipedia).

El fundamento del nuevo SI se basa en las siguientes premisas [2, 3]:

1. La separación de las definiciones de las unidades de sus realizaciones experimentales particulares.
2. Las vinculación de las definiciones de las unidades a constantes de la naturaleza.
3. El nuevo sistema de unidades está diseñado para que perdure en el tiempo y no esté sujeto a cambios debidos a los continuos avances en los métodos de medida experimental.

El gran avance conceptual del nuevo SI consiste en la separar la realización práctica de las unidades de sus definiciones. Esto permite materializar las unidades de forma independiente en cualquier lugar y en cualquier tiempo promulgada por el Comité de Sabios del Sistema Métrico Decimal en 1789. Esto permite que nuevas realizaciones sean añadidas en el futuro según se vayan desarrollando nuevas tecnologías, sin por ello tener que modificar la definición de la propia unidad. Un ejemplo de esto proviene de las nuevas tecnologías cuánticas y el desarrollo del reloj cuántico que cambiará la realización experimental del segundo (ver subsección X A).

En el nuevo SI, las unidades de masa (kg), corriente eléctrica (A), temperatura (K) y cantidad de sustancia (mol) se redefinen vinculándolas a las cuatro constantes universales que aparecen en la tabla VII, mientras que las unidades de tiempo (s), longitud (m) y eficacia luminosa (cd) permanecen asociadas a constantes de la naturaleza como anteriormente (ver Fig.19).

Las nuevas dependencias entre las unidades en el nuevo SI son ahora mucho más simétricas que en el anterior sistema como se ve a simple vista en la Fig.19. El segundo sigue siendo la unidad básica de la cual dependen todas las demás, excepto el mol que aparece desacoplado del resto de unidades. Las constantes fundamentales que se fijan a un valor exacto aparecen en el exterior del esquema y sus unidades vinculadas aparecen en el interior. Estas redefiniciones tienen consecuencias fundamentales en ciertas magnitudes, como las constantes eléctrica  $\epsilon_0$  y magnética  $\mu_0$  en el vacío que dejan de ser exactas y pasan a tener una indeterminación experimental en el nuevo SI. Así, la constante magnética se determina por la fórmula [2]:

$$\mu_0 = \frac{2\alpha h}{e^2 c}, \quad (40)$$

de modo que todas las constantes en esta ecuación tienen un valor fijo (ver tabla VII) salvo la constante de estructura fina electromagnética  $\alpha$  que se mide experimentalmente, resultando un valor de (CODATA2018)

$$\mu_0 = 4\pi[1 + 0.0(6.8) \times 10^{-10}] \times 10^{-7} \text{NA}^{-2} \quad (41)$$

$$= 1.25663706212(19) \times 10^{-6} \text{NA}^{-2}. \quad (42)$$

Entonces, la constante eléctrica en el vacío clásico se obtiene de la relación,

$$\epsilon_0 = \frac{1}{\mu_0 c^2}, \quad (43)$$

resultando un valor actual de (CODATA2018)

$$\epsilon_0 = 8.8541878128(13) \times 10^{-12} \text{Fm}^{-1}. \quad (44)$$

Sin embargo, en nuestra vida cotidiana los cambios no suponen ningún trastorno pues típicamente corresponden a cambios de una parte en  $10^8$ , o a veces menos. Sus efectos sí son muy importantes en las medidas de alta precisión que se necesitan en los laboratorios de investigación e institutos de metrología donde es imprescindible poder hacer medidas exactas y precisas para saber si se ha encontrado un nuevo descubrimiento.

## IX. LAS CONSTANTES FUNDAMENTALES DE LA NATURALEZA

Detrás de cada constante universal de la naturaleza hay una de las leyes fundamentales de la Física y la Química. De las siete unidades del nuevo SI, cinco están asociadas a constantes universales de la naturaleza como se muestra en la tabla IV.

Las constantes fundamentales son como el ADN de nuestro universo. Otros universos, si existen, pueden tener otro conjunto distinto de constantes universales. En nuestro universo, dependiendo del fenómeno físico de que se trate y de su escala, necesitaremos algunas de constantes fundamentales para poder explicarlo. Con este puñado de constantes podemos describir nuestro mundo físico desde escalas atómicas,

Símbolo	Constante	Ley
$c$	velocidad de la luz	Teoría de la Relatividad
$h$	Planck	Física Cuántica
$k$	Boltzmann	Termodinámica
$e$	Carga del electrón	Electrodinámica Cuántica
$N_A$	Avogadro	Teoría Atómica

Table IV: Las cinco constantes universales de la naturaleza y sus leyes correspondientes a las que están asociadas. Las leyes de la Física y la Química permiten describir fenómenos naturales una vez que los valores de las constantes son conocidos.

mesoscópicas, microscópicas, macroscópicas, astronómicas hasta cosmológicas.

Además de estas 5 constantes universales, en el nuevo SI hay otras 2 constantes que se utilizan para determinar la unidad de tiempo y la de eficacia luminosa. La primera de ellas es la frecuencia de transición hiperfina del estado fundamental no perturbado del átomo de cesio 133, denotada por  $\Delta\nu_{Cs}$ . Si bien esta es una constante de la naturaleza, no la podemos considerar como fundamental en pie de igualdad con las otras cinco. Si lo hiciéramos, también serían fundamentales cualquier salto de energía en el espectro de cualquier átomo y resultarían infinitas constantes fundamentales. Además, esta frecuencia en principio es calculable usando las leyes de la electrodinámica cuántica, mientras que constantes como las de la tabla VII no son calculables desde primeros principios conocidos actualmente. En cuanto a la eficiencia luminosa  $K_{cd}$ , la constante asociada ni siquiera es universal y es puramente convencional. En resumen, solo 5 de las 7 constantes empleadas en el nuevo SI son realmente fundamentales en este sentido aquí expresado.

Hay otro aspecto esencial que merece ser resaltado: tres de estas cinco constantes universales están asociadas a principios de simetría de la naturaleza. La constante  $c$  de la velocidad de la luz es la responsable de la unificación del espacio y el tiempo en la teoría de la Relatividad [7], uno de los pilares de la física moderna. Lo que subyace a esta ley fundamental es el Principio de Relatividad, que declara físicamente equivalentes todos los sistemas de referencia inerciales en movimiento relativo. Es esta simetría la responsable de la constancia de la velocidad de la luz. Si  $c$  no es constante, las transformaciones de Lorentz y por ende el Principio de Relatividad, se rompen.

La constante de Planck  $h$  es la responsable de que las magnitudes físicas como la energía, momento angular, etc. puedan tomar valores discretos, llamados cuantos. Es la constante fundamental de la Mecánica Cuántica, otro de los pilares de la física moderna. Lo que subyace a esta ley fundamental es el Principio de Unitariedad, que fuerza a que la probabilidad de encontrar a las partículas en su estado cuántico se preserve a lo largo de su evolución temporal. Más básico aún es la linealidad de la Mecánica Cuántica representada por el Principio de Superposición de estados y que es necesario para garantizar la unitariedad. Si  $h$  no fuese constante, el Principio de Unitariedad se quebraría. Es el Principio de Superposición (linealidad) de la Mecánica Cuántica el que está en la raíz de todas las sorpresas contra-intuitivas que nos brinda la física cuántica

como nos enseña R. Feynman [8, 9]. Se pueden realizar test de precisión sobre la posible falta de no-linealidad de la Mecánica Cuántica usando modelos no-lineales y poniéndolos a prueba obteniéndose cotas de validez de la linealidad de solo un error de  $10^{-21}$  con estimaciones teóricas usando resultados experimentales [10], y de hasta  $4 \times 10^{-27}$  con medidas directas [11]. Precisamente, para obtener estas cotas se usan las medidas de las transiciones de radiofrecuencia tan exactas empleadas en los estándares de frecuencia. Resulta que una posible no-linealidad produciría una desintonización de esas transiciones resonantes en los estándares.

La carga del electrón  $e$  es el valor de la fuente elemental (no confinada) de campo eléctrico en la Electrodinámica Cuántica, la primera de las teorías de partículas elementales conocidas y que sirve de referencia para el resto de interacciones fundamentales. Lo que subyace a esta ley fundamental es el Principio de Invariancia Gauge que describe las interacciones elementales conocidas. En el caso del electromagnetismo, el grupo de invariancia es el más simple  $U(1)$ . Es esta simetría la responsable de la constancia del valor de la carga del electrón: si  $e$  no es constante, la simetría gauge se rompe.

En estos tres ejemplos, los valores de las constantes fundamentales  $c$ ,  $h$  y  $e$  están protegidos por sendas simetrías de la naturaleza. Una medición cada vez más precisa de ellas puede resultar en una falta de constancia, y por tanto, la violación de un de las leyes fundamentales de la Física. Luego la metrología es también una fuente de descubrimiento de nueva física a través de la mejora con el tiempo de sus métodos de medida. Un ejemplo muy importante de este hecho dentro del nuevo SI es el llamado Triángulo Metrológico Cuántico que veremos en la subsección XB, y también las posibles variaciones en la constante de estructura electromagnética  $\alpha$  o la razón de la masa del protón al electrón (ver XB).

La constante de Boltzmann  $k$  es el factor de conversión que permite relacionar la temperatura termodinámica  $T$  macroscópica de un cuerpo con la energía térmica de sus grados de libertad (constituyentes) microscópicos. Esta es la constante fundamental en la Física Estadística que estudia la relación entre la física macroscópica y sus constituyentes microscópicos, y es otro de los pilares de la física. La constante  $k$  aparece en la descripción del mundo macroscópico en la probabilidad  $P_i$ , o factor de Boltzmann, de encontrar un sistema en un estado microscópico  $i$  cuando está en equilibrio termodinámico a la temperatura  $T$ :

$$P_i = \frac{e^{-\frac{E_i}{kT}}}{Z}, \quad (45)$$

donde  $Z$  es la función de partición característica del sistema. Boltzmann estableció la relación entre los mundos macroscópicos y microscópicos en su fórmula para la entropía  $S$ :

$$S = k \ln W, \quad (46)$$

donde  $W$  es el número de estados microscópicos distintos correspondientes a un estado macroscópico del sistema con energía  $E$ . Esta es la famosa ecuación que aparece en el

frontispicio de la tumba de Boltzman en Viena. Sin embargo, Boltzmann estableció la relación (46) como una ley de proporcionalidad, sin introducir explícitamente su constante. Históricamente, fue Planck el primero en escribirla en su artículo donde enunció la ley de radiación del cuerpo negro, junto con su constante  $h$  de los cuantos de energía [12]. Planck fue el primero en dar valores numéricos a estas dos constantes usando los valores experimentales de las constantes universales que aparecen en la ley de Wien del desplazamiento y la ley de Stefan-Boltzman, que describen propiedades esenciales de la radiación en equilibrio térmico. Estos primeros valores resultaron estar muy cercanos a los actuales [12] (ver Tabla VII):

$$h = 6.55 \times 10^{-27} \text{ erg s}; \quad k = 1.346 \times 10^{-16} \text{ erg grad}^{-1}. \quad (47)$$

La constante de Boltzmann no tiene asociado ningún principio de simetría, a diferencia de las otras tres constantes mencionadas más arriba.

La constante de Avogadro  $N_A$  es un factor de conversión que relaciona la cantidad macroscópica de una sustancia con el número de sus constituyentes elementales, ya sean estos átomos, iones, moléculas etc. Es una constante fundamental en la Teoría Atómica de la materia en la Física y la Química. El mol se introduce para poder manejar cantidades macroscópicas de una sustancia que está hecha de un número enorme de entidades elementales. La constante de Avogadro  $N_A$  es el factor de proporcionalidad entre la masa de un mol de sustancia (masa molar) y la masa promedio de una de sus moléculas, o cualesquiera que sean sus constituyentes elementales.  $N_A$  también es aproximadamente igual al número de nucleones en un gramo de materia. Para definir el mol, inicialmente se tomó como referencia el átomo de oxígeno y posteriormente al carbono. En el nuevo SI, la masa de un mol de cualquier sustancia, ya sea hidrogeno, oxígeno o carbono, es  $N_A$  veces la masa promedio de cada una de sus partículas constituyentes, la cual es una cantidad física cuyo valor debe determinarse experimentalmente para cada sustancia.

El origen de la palabra mol proviene del latín *moles* que significa masa, y *molécula* que significa porción pequeña de masa. La constante de Avogadro tampoco tiene asociado ningún principio de simetría.

Al ser tanto la constante de Boltzmann  $k$  como la de Avogadro  $N_A$  factores de conversión de propiedades macroscópicas y microscópicas, también están relacionados entre sí:

$$R = N_A k, \quad (48)$$

donde  $R$  es la constante de los gases ideales que relaciona presión, volumen y temperatura:  $PV = nRT$ , con  $n$  el número de moles del gas.

La Hipótesis Atómica juega un papel fundamental en la descripción de la naturaleza. Establece que la materia no es un continuo, sino que es discreta y está hecha de entidades elementales llamadas átomos. Feynman la consideró la idea más importante de toda la ciencia porque contiene una gran cantidad de información en muy pocas palabras, y a partir de la cual, se puede reconstruir muchas de las propiedades de la

materia que nos rodea, como que hay distintos estados de la materia dependiendo de la temperatura y sus cambios de fase [8]. En época de Boltzmann en la segunda mitad del siglo XIX la existencia de átomos y moléculas esta todavía objeto de debate y es una de las razones por las que la constante de Boltzmann se introdujo tardíamente pues entonces se empleaban energías macroscópicas, no por molécula, y se empleaba la constante de los gases (48) [13]. Los trabajos sobre el movimiento browniano, teóricos de Einstein [14] y experimentales de Perrin [15], fueron esenciales para establecer la validez de la Hipótesis Atómica a principios del siglo XX.

## X. REVISIÓN DEL SI BASADO EN LAS CONSTANTES FUNDAMENTALES

### A. Las Nuevas Definiciones

Las explicaciones del nuevo SI se ven enormemente facilitadas por la nueva visión adoptada por el SI de separar las definiciones de unidades, que van vinculadas a las constantes de la naturaleza, de sus realizaciones experimentales concretas, que son cambiantes con la tecnología y los desarrollos de nuevos métodos de medición en el laboratorio (sección VIII).

El universo visible está hecho de materia y radiación. La Física es la ciencia que estudia la materia y la radiación, y sus interacciones. El nuevo SI utiliza la naturaleza discreta de la materia y la radiación para definir sus unidades en función de constantes de la naturaleza. El carácter discreto de la materia se denomina históricamente la hipótesis atómica y el carácter discreto de la radiación, la hipótesis cuántica.

Empecemos por la radiación electromagnética, una de cuyas formas es la luz. Su velocidad  $c$  tiene una propiedad que la hace especial para medir tiempos y distancias: es una constante universal y tiene el mismo valor para todos los observadores inerciales, es decir, los que miden las magnitudes físicas u observables.

Como el tiempo es lo más difícil de definir, se define lo primero como lo más básico y para ello usamos un oscilador que sea muy estable: los ciclos de los átomos de cesio en un reloj atómico. Galileo utilizó péndulos, o incluso su propio pulso, para medir tiempos. Es famosa la definición de tiempo dada por Einstein cuando le preguntaron: “¿Qué es el tiempo? Lo que miden los relojes”. Es una definición muy simple y a la vez muy profunda. De hecho, es una definición metrológica de tiempo que encaja muy bien en el nuevo SI: una vez definido el tiempo de forma genérica en términos de un oscilador o reloj, queda para la materialización de la unidad segundo (s) la elección de un reloj adecuado. Según la normas del nuevo SI, la definición y realización del segundo queda así: **segundo**: “El segundo, de símbolo s, se define estableciendo el valor numérico fijo de la frecuencia  $\Delta\nu_{Cs}$  del cesio, la frecuencia de transición hiperfina del estado fundamental no perturbado del átomo de cesio 133, en 9 192 631 770, cuando se expresa en la unidad de Hz (herzio), igual a 1/s.”  $\square$

La realización del segundo por medio de la frecuencia de

transición del cesio

$$\Delta\nu_{Cs} = 9192631770 \text{ Hz}, \quad (49)$$

implica que el segundo es igual a la duración de 9 192 631 770 períodos de la radiación correspondiente a la transición entre los dos niveles hiperfinos del estado fundamental no perturbado del átomo de  $^{133}\text{Cs}$ .

Esta materialización del patrón de tiempo es un ejemplo de la provisionalidad de las realizaciones experimentales de las unidades del SI. Los patrones basados en relojes de cesio llevan usándose desde los años 60 del siglo XX. Actualmente tenemos realizaciones más precisas usando relojes cuánticos y ya hay prevista por el BIPM una renovación de la realización del segundo usando esta tecnología cuántica antes de 2030 (ver X B). Sin embargo, la definición de tiempo permanecerá inalterada.

El metro entonces se define con el tiempo y de la velocidad de la luz  $c$ :

**metro:** “El metro, de símbolo  $m$ , se define tomando el valor numérico fijo de la velocidad de la luz en el vacío  $c$  como 299 792 458 cuando se expresa en la unidad  $\text{ms}^{-1}$ , donde el segundo se define en términos de la frecuencia de cesio  $\Delta\nu_{Cs}$ ”.

□

Con esta definición, un metro es la longitud del camino recorrido por la luz en el vacío durante un intervalo de tiempo con una duración de  $1/299\,792\,458$  de segundo. Esta definición se basa en fijar la velocidad de la luz en el vacío exactamente en

$$c = 299792458 \text{ ms}^{-1}. \quad (50)$$

Los métodos para medir la velocidad de la luz han ido cambiando a través de los tiempos, desde el inicial de Ole Römer en 1676, basado en el tránsito de la luna Ío de Júpiter mediante un telescopio, hasta las modernas técnicas usando interferometría con láseres.

A continuación lo natural es definir la unidad de masa, el kilo. Resulta que la luz también tiene otra propiedad que la hace muy útil para la definición del kilo: la luz de una frecuencia fija (monocromática) tiene un mínimo de energía discreto llamado fotón cuya energía es proporcional a su frecuencia según descubrieron Planck [12], y luego Einstein [16]. Esa constante de proporcionalidad es la constante  $h$  de Planck. Las unidades de esta constante son las tres básicas de lo que una vez se llamó el Sistema MKS, precursor del SI actual: metro, kilo y segundo en las siguiente proporción,

$$[h] = \text{kg m}^2 \text{ s}^{-1}. \quad (51)$$

Es importante hacer notar que la constante de la gravitación universal  $G$  de Newton también tiene unidades del sistema MKS, aunque en otra proporción:

$$[G] = \text{kg}^{-1} \text{ m}^3 \text{ s}^{-2}. \quad (52)$$

Resulta que  $h$  y  $G$  son las únicas constantes fundamentales con unidades MKS. Hay otras constantes asociadas a interacciones fundamentales, pero no contienen la masa sino otras cargas elementales. Pero con  $G$  esto no es suficiente para

definir la unidad de masa con la exactitud que se necesita en metrología. El problema radica en que la precisión con la que se mide  $G$  es mucho peor que la de  $h$ . El ‘kilo gravitatorio’ no es una buena unidad metrológica práctica. Este hecho es el origen de la ‘via cuántica’ del kilo como vamos a ver. En definitiva, podemos usar  $h$  para definir el kilo a partir del segundo y el metro que ya están definidos una vez fijado el valor de  $c$ .

Si no fuera por esta falta de precisión en la medida de  $G$ , la constante  $h$  se podría desacoplar del kilo y fijarla de forma independiente a través de los efectos puramente cuánticos de Hall y de Josephson (ver X B):

$$h = \frac{4}{K_J^2 R_K} = 6.626068854 \dots \times 10^{-34} \text{ Js}. \quad (53)$$

Pero si se tomara esta otra via cuántica, tan natural en teoría, entonces desacoplamos el kilo de  $h$  y se volvería a quedar vinculado a un artefacto: nos vemos pues abocados al ‘kilo cuántico’.

Una vez tomada la via del ‘kilo cuántico’, la siguiente cuestión es cómo usar la constante de Planck  $h$  para definirlo. Para ello, usamos la prescripción del nuevo SI de usar las unidades de  $h$  y las definiciones de segundo y metro ya introducidas anteriormente. Entonces, la definición de kilo queda así:

**kilogramo:** “El kilogramo, símbolo kg, se define tomando el valor numérico fijo de la constante de Planck,  $h$  como  $6.62607015 \times 10^{-34}$ , cuando se expresa en la unidad J s, igual a  $\text{kg m}^2 \text{ s}^{-1}$ , donde el metro y el segundo se definen en términos de  $c$  y  $\Delta\nu_{Cs}$ ”.

□

O en ecuaciones,

$$\begin{aligned} 1\text{kg} &= \left( \frac{h}{6.62607015 \times 10^{-34}} \right) \text{m}^{-2} \text{s} \\ &= 1,475521 \dots \times 10^{40} \frac{h \Delta\nu_{Cs}}{c^2} \end{aligned} \quad (54)$$

Esta definición es equivalente a la relación exacta

$$h = 6.62607015 \times 10^{-34} \text{ Js}. \quad (55)$$

Tras la definición del ‘kilo cuántico’ surge el problema de como realizarlo experimentalmente. Lo más sencillo a primera vista sería usar las relaciones fundamentales de energía de Einstein [17] y Planck [12], respectivamente:

$$E = mc^2 \quad \text{y} \quad E = h\nu. \quad (56)$$

El fundamento del ‘kilo cuántico’ consiste en tener un método muy preciso para medir  $h$  y luego usarlo para definir el kilo. Pero para esto, las relaciones fundamentales anteriores presentan un problema. El fotón como cuanto de energía luminosa no tiene masa. Si queremos que el cuanto tenga una masa, lo que está mejor definido es su longitud de onda de Broglie [18]:

$$E = \frac{hc}{\lambda}. \quad (57)$$

Sin embargo, medir una longitud de onda es fácil para un movimiento tipo onda plana, que de nuevo es más típico de

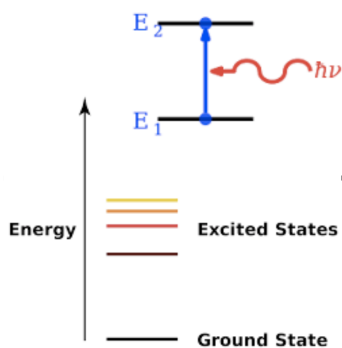


Figure 20: La primera revolución cuántica de las tecnologías se basa en el carácter discreto de las magnitudes físicas como los estados de energía en los átomos. Los fotones de la radiación electromagnética permiten manipular los estados de energía bien definida (56). Crédito: Wikipedia (adapted).

una radiación monocromática. Para tener una masa real  $m$ , necesitamos una partícula con una longitud de onda asociada, es decir, una masa localizada en el espacio la cual se describe más naturalmente con un paquete de ondas, el cual no tiene una sola longitud de onda. Así que usar las relaciones más básicas de la energía (56) no es lo metrológicamente más útil.

De ahí que la vía cuántica del kilo se realice a través de la Balanza de Kibble (ver X B). Esto nos lleva a una pregunta importante: ¿Qué tipo de masa, inercial o gravitatoria, aparece en las unidades de  $h$ , y por ende en la nueva definición de kilo? Para el caso del fotón que no tiene masa, tal distinción no existe. Cuando tenemos una partícula con masa, entonces dependerá de la relación mecánica que usemos para relacionarla con  $h$ , y así decidir si el kilo que definimos es inercial o gravitatorio. Por ejemplo, si usamos la relación de Einstein, el kilo será inercial, si usamos una balanza, entonces el kilo será gravitatorio. Por tanto, la Balanza de Kibble nos proporciona una definición de kilo gravitatorio cuántico. Ahora bien, el Principio de Equivalencia nos dice que ambos tipos de masa son iguales y está comprobado experimentalmente con una precisión superior a la medición de las constantes fundamentales que intervienen en el SI: una incertidumbre de  $(0.3 \pm 1.8) \times 10^{-13}$  [19]. Con lo cual, podemos omitir el adjetivo gravitatorio mientras que la precisión del Principio de Equivalencia sea superior a la de las constantes fundamentales.

La descripción del ‘kilo cuántico’ mediante la Balanza de Kibble pertenece a la parte del nuevo sistema SI correspondiente a la realización práctica de la unidad kilo, no a su definición (ver X B).

Para continuar definiendo el resto de unidades SI y derivarlas de las anteriores ya definidas, nos volvemos a fijar en el carácter discreto de la materia. Así, existen átomos (neutros) y electrones (cargados). La materia más elemental cargada (sin confinar) es el electrón y con el se define el amperio usando el segundo ya definido:

**amperio:** “El amperio, símbolo A, se define tomando el valor

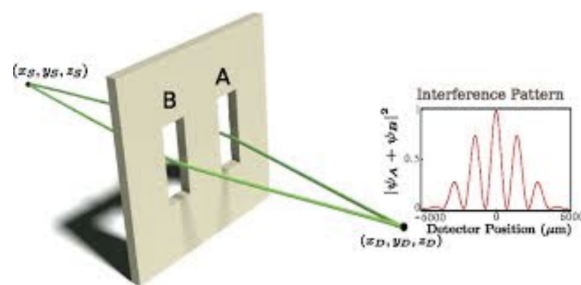


Figure 21: La segunda revolución cuántica de las tecnologías se basa en el principio de superposición de la mecánica cuántica. El caso más sencillo se ejemplifica con el experimento de la doble rendija [8, 9] donde se superponen las propiedades de una sola partícula. Cuando la superposición cuántica involucra varias partículas da lugar al entrelazamiento cuántico que es el recurso fundamental en la información cuántica [29]. Crédito: R. Sawant et al. [30].

numérico fijo de carga elemental,  $e$ , como:

$$e = 1.602176634 \times 10^{-19} \text{ C}, \quad (58)$$

cuando se expresa en la unidad culombio, C, igual a A s, y el segundo se define en términos de  $\Delta\nu_{\text{Cs}}$ .” □

En consecuencia, un amperio es la corriente eléctrica correspondiente al flujo de  $1/(1.602176634 \times 10^{-19})$  cargas elementales por segundo. La ventaja del nuevo amperio es que se puede medir, no como el antiguo que tenía una definición impracticable que le dejaba de hecho fuera del sistema SI. Además, es independiente del kilogramo y se reduce la incertidumbre de las magnitudes eléctricas.

Para la realización experimental del amperio se han propuesto varias técnicas: a) la más directa es usar la definición actual del SI mediante el transporte mono-electrónico (ver X B) [3, 4] aunque todavía está en vías de desarrollo para ser competitiva; b) usando la ley de Ohm y los efectos Hall y Josephson para definir el voltio y el ohmio (ver X B) [3, 4]; c) la relación entre la corriente eléctrica y la variación temporal del potencial en un condensador [3, 4].

En cuanto a los átomos, históricamente, son las unidades elementales de sustancia y con ellos se puede definir el mol como la unidad de cantidad de una cierta sustancia. Detrás de esta definición está la naturaleza discreta de la materia a través de la hipótesis atómica y la constante de la naturaleza asociada es la de Avogadro (48):

**mol:** “El mol, símbolo mol, es la unidad de la cantidad de sustancia. Un mol contiene exactamente  $6.02214076 \times 10^{23}$  entidades elementales.” □

Este valor sale de fijar el valor numérico de la constante de Avogadro a

$$N_A = 6.02214076 \times 10^{23} \text{ mol}^{-1}, \quad (59)$$

en unidades de  $\text{mol}^{-1}$ . Como consecuencia, el mol es la cantidad de sustancia de un sistema que contiene  $6.02214076 \times 10^{23}$  entidades elementales especificadas. La cantidad de sustancia de un sistema es una medida del número de cantidades elementales. Una cantidad elemental puede ser un átomo, una



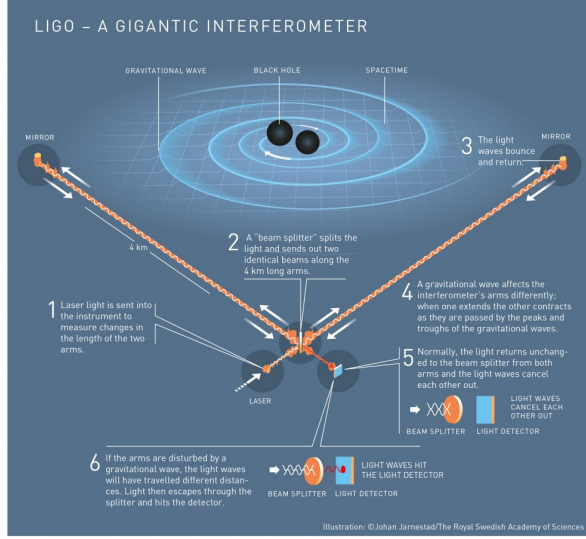


Figure 22: Esquema de un detector de ondas gravitacionales tipo LIGO. Se muestran los dos brazos perpendiculares de cuatro km cada uno. Las ondas gravitacionales causadas por la colisión de dos agujeros negros se pueden detectar en el patrón de interferencias gracias a la extremada sensibilidad del aparato que permite resolver distancias miles de veces más pequeñas que el núcleo atómico. (Crédito: Johan Järnstad/The Royal Swedish Academy of Sciences [35])

molécula, un ion, un electrón, cualquier otra partícula o un grupo específico de partículas.

Para la realización experimental del amperio se han propuesto varias técnicas [3, 4]: a) el proyecto Avogadro (International Avogadro Coordination), b) métodos gravimétricos, c) ecuación de los gases, y d) métodos electrolíticos.

Nos falta todavía la unidad fundamental para medir la temperatura, el kelvin. Siguiendo el nuevo SI, la debemos vincular a una constante fundamental de la naturaleza, en este caso la constante de Boltzmann. La constante de Boltzmann sirve como un factor de conversión entre energía y temperatura:

$$E = kT. \quad (60)$$

También esta constante la podemos ver como resultado del carácter discreto de la naturaleza. Por ejemplo, la hipótesis atómica para gases nobles ideales permite calcular la energía cinética de estos como:

$$E_c = \frac{3}{2} kT. \quad (61)$$

La nueva definición resultante del kelvin como la unidad de temperatura termodinámica es:

**kelvin:** “El kelvin, símbolo K, se define tomando el valor numérico fijo de la constante de Boltzman,  $k$ , como

$$k = 1.380649 \times 10^{-23} \text{ JK}^{-1}, \quad (62)$$

cuando se expresa en las unidades  $\text{kg m}^2 \text{ s}^{-1} \text{ K}^{-1}$ , donde el kilogramo, el metro y el segundo se definen de acuerdo con  $h, c$  y  $\Delta\nu_{\text{Cs}}$ ”. □

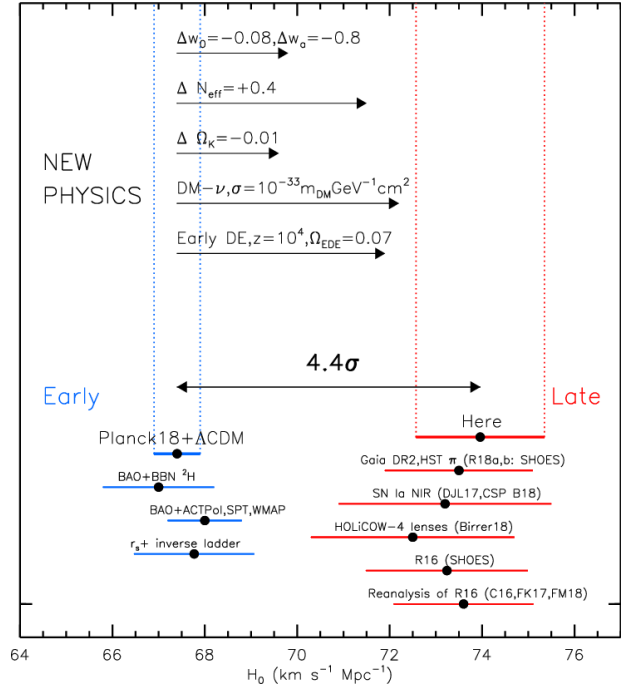


Figure 23: Diferencias de valores para la constante de Hubble  $H_0$  medidas con el satélite Planck 2018 en el universo temprano y extrapoladas con el modelo cosmológico estándar (azul) [41], y las medidas locales realizadas con las escaleras de distancias de cefeidas y supernovas [42, 43]. (Crédito: Riess et al. [43]).

Esta definición implica que el kelvin es igual a un cambio termodinámico de temperatura que resulta en un cambio en la energía térmica  $kT$  de  $1.380649 \times 10^{-23} \text{ J}$ . Como consecuencia de la nueva definición, el punto triple del agua deja de tener un valor exacto y ahora tiene una incertidumbre dada por:

$$T_{\text{TPW}} = 273.16000\text{K} \pm 0.00010\text{K}, \quad (63)$$

como consecuencia de heredar la incertidumbre que tenía la constante de Boltzmann  $k$  antes de la nueva definición.

Siguiendo el principio guía usado hasta ahora para introducir las nuevas definiciones de las unidades SI utilizando el carácter discreto de la energía (56) y la materia (48), podemos ir más allá y usar el carácter discreto de la información para introducir la constante de Boltzmann. Así, otra manera de fundamentar el origen discreto de la constante de Boltzmann es a través del Principio de Landauer [20] que establece que el mínimo de energía disipada en forma de calor a una temperatura  $T$  en el sistema elemental más simple, ya sea clásico (bit) o cuántico, cúbit, es:

$$E = \ln 2 kT. \quad (64)$$

El origen del Principio de Landauer reside en el carácter irreversible del borrado de información [21, 22] en un sistema que conlleva una disipación mínima de energía [23]. Su verificación experimental ha sido posible directamente en varios trabajos recientes [24–27]. De esta manera, tenemos una



Figure 24: Arriba: Visión general de un reloj cuántico de iones atrapados desarrollado por el grupo de Rainer Blatt en el laboratorio de la Universidad de Innsbruck. Es un prototipo compacto que ocupa un espacio funcional reducido y es comercializado por la empresa Alpine Quantum Technologies [47]. Abajo: detalle de la parte central del reloj donde se muestra la trampa donde se confinan los iones usando campos electromagnéticos. (Crédito: Rainer Blatt Lab).

visión unificada de todas las unidades del SI basándonos en la propiedad fundamental que poseen tanto la energía, la materia y la información: su naturaleza discreta en nuestro universo.

Para la realización experimental del kelvin se han propuesto varias técnicas [3, 4]: a) mediante termometría acústica con gases, b) termometría radiométrica de banda espectral, c) termometría de gas polarizante y d) termometría de ruido de Johnson.

Mención aparte merece la séptima unidad básica del SI empleada para medir la eficacia luminosa de una fuente. Es una medida de la bondad de una fuente de luz cuando su luz visible se percibe por el ojo humano. Es claramente convencional y subjetiva. Se utilizan valores promedio del comportamiento del ojo humano. Se cuantifica mediante la relación del flujo luminoso a la potencia, medida en lúmenes (lm) por vatio en el SI. No hay una ley universal de la física asociada a esta unidad, porque la fuente de luz no tiene por qué estar en equilibrio termodinámico. El concepto básico para la candela se mantiene en el nuevo SI:

**candela:** “La candela, símbolo cd, es la unidad SI de intensidad luminosa en una dirección dada. Se define tomando el valor numérico fijo de la eficacia luminosa de la radiación monocromática de frecuencia  $540 \times 10^{12}$  Hz,  $K_{cd}$ , como 683 cuando se expresa en la unidad  $\text{lm W}^{-1}$ , que es igual a  $\text{cd sr W}^{-1}$ , o  $\text{cd sr kg}^{-1} \text{m}^{-2} \text{s}^3$ , donde el kilogramo, el metro y el segundo se definen en términos de  $h$ ,  $c$  y  $\Delta\nu_{Cs}$ ”. □

Esta definición se basa en tomar el valor exacto para la con-

stante

$$K_{cd} = 683 \text{ cd sr kg}^{-1} \text{ m}^{-2} \text{ s}^3, \quad (65)$$

para una radiación monocromática de frecuencia  $\nu = 540 \times 10^{12}$  Hz. Como consecuencia, una candela es la intensidad luminosa, en una dirección dada, de una fuente que emite radiación monocromática de frecuencia  $\nu = 540 \times 10^{12}$  Hz y tiene una intensidad radiante en esa dirección de  $(1/683) \text{ W/sr}$ .

Para la realización experimental de la candela se han propuesto varias técnicas [3, 4] como la realización práctica de unidades radiométricas, empleando dos tipos de métodos primarios: los basados en detectores patrón como el radiómetro eléctrico de sustitución y fotodiodos de eficiencia cuántica predecible, y los basados en fuentes patrón como el radiador de Planck y la radiación de sincrotrón. En la práctica se utiliza más habitualmente una lámpara patrón con diseño optimizado para emitir en una dirección definida y a larga distancia desde el detector.

## B. Metrología Cuántica y el Nuevo SI

El establecimiento de las leyes de la mecánica cuántica en el primer cuarto del siglo XX permitió comprender la naturaleza a escala atómica. Como consecuencia de esa mejor comprensión del mundo atómico surgieron aplicaciones en forma de nuevas tecnologías cuánticas. A este primer período se le conoce como la primera revolución cuántica y ha producido tecnologías tan innovadoras como el transistor y el láser. Incluso los ordenadores clásicos actuales son consecuencia de estos avances cuánticos de primera generación. Con el comienzo del siglo XXI estamos viendo emerger nuevas tecnologías cuánticas de segunda generación [28] que constituyen lo que se conoce como la segunda revolución cuántica. Ambas revoluciones se basan en explotar aspectos concretos de las leyes de la mecánica cuántica. Así, podemos clasificar estas revoluciones tecnológicas en dos grupos:

**Primera Revolución Cuántica:** se basa en el carácter discreto de las propiedades del mundo cuántico: los cuantos de energía (como los fotones), los cuantos de momento angular, etc. Esta naturaleza discreta de las magnitudes físicas es lo primero que sorprende en la física cuántica (ver Fig.20). □

**Segunda Revolución Cuántica:** se basa en el principio de superposición de estados cuánticos, en los cuales se puede guardar y procesar información como consecuencia de sus propiedades de entrelazamiento cuántico (ver Fig.21). □

En la segunda revolución cuántica se han identificado cinco áreas de trabajo que darán lugar a nuevos desarrollos tecnológicos. Enumeradas de menor a mayor complejidad son: metrología cuántica, sensores cuánticos, criptografía cuántica, simulación cuántica y ordenadores cuánticos.

La metrología cuántica está considerada una de las tecnologías cuánticas de desarrollo más inmediato. Es la parte de la metrología que se ocupa de cómo realizar medidas de parámetros físicos con gran resolución y sensibilidad usando la mecánica cuántica, especialmente explotando sus propiedades de entrelazamiento. Una pregunta fundamental en metrología cuántica es cómo escala la precisión, medida en

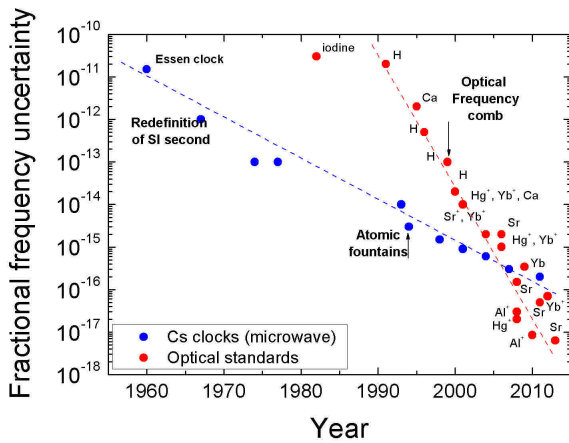


Figure 25: Comparativa de la evolución temporal reciente de las incertidumbres en relojes atómicos de cesio (microondas) y relojes cuánticos (ópticos), de iones y de átomos neutros en redes ópticas. Claramente se observa un cambio de tendencia con una ganancia de exactitud en los relojes cuánticos. (Crédito: Reproducido por cortesía de la Società Italiana di Fisica de N. Poli et al. [40]).

términos de la variancia  $\Delta m$ , con que se estima un parámetro físico con el número  $N$  de partículas empleadas o repeticiones del experimento. Resulta que con los interferómetros clásicos no se puede superar el llamado límite balístico estándar [31–33] dado por

$$\Delta m \geq \frac{1}{\sqrt{N}}, \quad (66)$$

mientras que con metrología cuántica de segunda generación se puede el límite de Heisenberg dado por

$$\Delta m \geq \frac{1}{N}. \quad (67)$$

Un ejemplo de aplicación muy importante de la metrología cuántica a la ciencia básica lo constituye la detección de ondas gravitacionales por experimentos como el LIGO (Laser Interferometer Gravitational-Wave Observatory), [34] (ver Fig.22), donde se necesita medir distancias entre masas separadas del orden de unos kilómetros con una altísima precisión (milésima parte del diámetro de un protón). Estas variaciones en distancia se producen en las longitudes de los brazos de los interferómetros cuando pasa una onda gravitacional por ellos. Utilizando ‘luz comprimida’, una forma de óptica cuántica [36], se puede conseguir mejorar la sensibilidad de los interferómetros de acuerdo con el límite cuántico (67) [37–39].

Las medidas de experimentos tipo LIGO pueden tener otra aplicación básica para tratar de elucidar la controversia que ha surgido recientemente con la llamada constante de Hubble  $H_0$ . En el modelo cosmológico estándar denotado por  $\Lambda$ CDM ( $\Lambda$ =energía oscura, CDM=materia oscura fría)  $H_0$  mide la velocidad con que se expande actualmente el universo de acuerdo con la ley de Hubble. Es un parámetro de capital importancia en cosmología. Hay dos fuentes de medidas

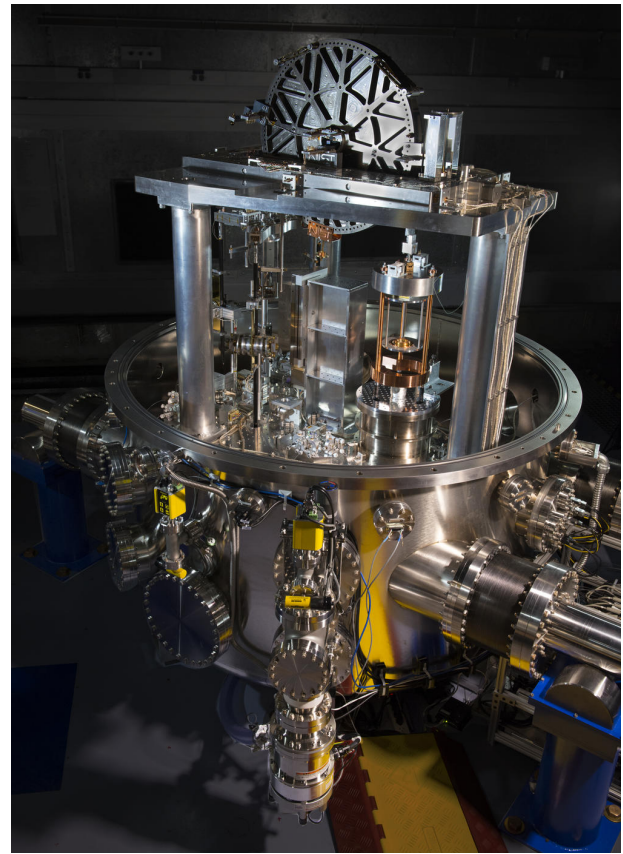


Figure 26: Balanza de Kibble NIST-4 empleada para medir la constante de Planck  $h$  con una incertidumbre de 13 partes en mil millones en 2017, contribuyendo a la redefinición del kilogramo como unidad de masa del nuevo SI en 2019. (Crédito: NIST).

que dan valores discrepantes. Por una lado, el valor proporcionado por el satélite Planck en 2018 analizando el fondo de radiación de microondas del universo temprano y extrapolando el parámetro de Hubble a su valor actual con el modelo estándar  $\Lambda$ CDM da un valor de  $H_0 = 67.4 \pm 0.5$  kilómetros por segundo y por megaparsec de distancia [41]. Por otro lado, medidas realizadas en el universo actual utilizando escaleras de distancias basadas en cefeidas y supernovas de tipo 1a da como resultado  $H_0 = 74.03 \pm 1.42 \text{ kms}^{-1} \text{ Mpc}^{-1}$  [42]. Esta discrepancia supone una confianza estadística de 4.4 sigmas (desviaciones estándar), muy cercana a la barrera de las 5 sigmas que se considera como clara evidencia de que son resultados distintos y supondría ser que hay nueva física que el modelo estándar no ha tenido en cuenta (ver Fig.23). Además, para aumentar la controversia, también existe una medida del universo actual con otra escalera de distancias que arroja un valor intermedio entre los dos discrepantes,  $H_0 = 69.8 \text{ kms}^{-1} \text{ Mpc}^{-1}$  [44]. Todas las medidas realizadas con el universo actual dan valores por encima de los valores obtenidos con el universo temprano y el modelo estándar. Luego, o se trata de errores sistemáticos, o puede ser el indicio de nueva física más allá del modelo cosmológico vigente, como por ejemplo la existencia de energía oscura dinámica, por citar solo un ejemplo [43].

Los experimentos tipo LIGO pueden ser muy útiles en el futuro para elucidar esta controversia, una más, sobre la constante de Hubble. No se trata de analizar colisiones de agujeros negros como en el descubrimiento original de las ondas gravitacionales, sino de las colisiones de estrellas binarias de neutrones. Resulta que cuando dos estrellas de neutrones se fusionan, las ondas gravitacionales resultantes pueden usarse para obtener información sobre la posición de las estrellas, y por ende de las galaxias donde se encuentran. Haciendo estadística de con al menos 50 sucesos de estas colisiones se podría tener una medida directa de la constante de Hubble con una exactitud no lograda hasta la fecha y resolver la controversia [45]. Y resultados recientes mejoran estas expectativas. Ya se ha podido detectar un suceso de fusión de estrellas de neutrones con el que estimar la constante de Hubble, cuyo valor resultante es precisamente  $H_0 = 70 \text{ kms}^{-1}\text{Mpc}^{-1}$  con una indeterminación del orden de  $\sim 7\%$  [46]. Se estima que con 15 sucesos se podría reducir el error al 1% y empezar a resolver la discrepancia.

Veamos a continuación tres ejemplos importantes de aplicaciones de la metrología cuántica al nuevo SI, tanto de tecnologías cuánticas de primera y segunda revolución.

### 1. Relojes Cuánticos

El mecanismo básico de un reloj consiste en un sistema de oscilaciones periódicas muy estables donde cada período define la unidad de tiempo y el reloj cuenta esos períodos para medir el tiempo. En el pasado se han usado movimientos periódicos naturales como el de la Tierra alrededor de su eje o del sol, osciladores mecánicos como péndulos o resonadores de cristal de cuarzo. En los años 60 del siglo pasado se empezó a usar oscilaciones atómicas para medir el tiempo usando átomos de cesio por su mayor exactitud y estabilidad que los sistemas mecánicos. La referencia actual para definir el estándar de tiempo es el cesio 133 donde se usa la frecuencia de resonancia correspondiente a la diferencia de energía entre los dos niveles hiperfinos de su estado fundamental (ver X A). Los relojes atómicos de cesio pueden medir el tiempo típicamente con una exactitud de un segundo en 30 millones de años. En general, la exactitud y estabilidad de un reloj atómico es mayor cuanto más alta es la frecuencia de la transición atómica y menor es la anchura de la línea de transición electrónica. Si hacemos la frecuencia del oscilador más grande podemos aumentar la resolución del reloj al hacerse más pequeño el período que usamos como referencia.

Los relojes atómicos han permitido mejorar múltiples desarrollos tecnológicos a los que estamos acostumbrados en nuestra vida diaria: controlar la frecuencia de las ondas de las emisiones de televisión, los sistemas mundiales de navegación por satélite como el GPS, transacciones financieras, internet, teléfonos móviles etc.

Los nuevos relojes cuánticos son un tipo de relojes atómicos donde el aumento de su exactitud se debe a utilizar frecuencias de transición atómicas en el rango óptico en vez del rango de microondas usado por los relojes de cesio. Las frecuencias ópticas de la luz visible son como cinco órdenes

de magnitud mayores que las microondas. Para conseguir dar este salto se necesitó utilizar trampas de iones (ver Fig.24) con técnicas de lógica cuántica empleadas en la computación cuántica [48, 49] que forma parte de las tecnologías cuánticas de la segunda revolución [50–52]. Los relojes cuánticos consiguen una incertidumbre de solo una parte en  $10^{17}$ s, lo que equivale a un segundo de error en un reloj cuántico que hubiese empezado a medir la edad del universo actual de 13.700 millones de años. Un reloj de iones basado en lógica cuántica es un ejemplo de cooperación entre dos iones donde cada uno proporciona cualidades complementarias. Por ejemplo, el ion del aluminio  $\text{Al}^+$  tiene una frecuencia de transición en el rango óptico que es útil para la frecuencia de referencia del reloj. Sin embargo, su estructura de niveles le hace un mal candidato para enfriarlo a las temperaturas necesarias para estabilizarlo. En cambio, esto sí es posible con el ion de berilio  $\text{Be}^+$ . Usando protocolos de computación cuántica, la información sobre el estado interno del ion espectroscópico  $\text{Al}^+$  después de sondear su transición con un láser, puede ser fielmente transferido al ion lógico  $\text{Be}^+$ , en donde esta información puede ser detectada con eficiencia casi del 100% [53]. Cada especie de ion aporta una funcionalidad distinta, la frecuencia de referencia o el método de enfriamiento, y el entrelazamiento cuántico entre los estados de ambos iones permite al conjunto funcionar como un reloj cuántico.

Los relojes cuánticos actuales utilizan, o bien a) uno o dos iones atrapados, o bien b) átomos ultrafríos confinados en campos electromagnéticos en forma de redes ópticas.

Cada una de estas realizaciones tiene sus ventajas y sus inconvenientes. Los relojes de iones tienen una exactitud muy alta pues pueden confinar al ion enfriándolo en una trampa de forma que nos acercamos mucho al ideal de un sistema aislado de las perturbaciones exteriores. Sin embargo, al utilizar solo un ion para la señal de absorción se consigue menos estabilidad pues se reduce la razón de la señal frente al ruido externo. Por el contrario, los relojes de átomos en redes ópticas pueden trabajar con un gran número de átomos consiguiendo una mayor estabilidad y mejor señal frente al ruido externo.

Diferentes equipos trabajando con ambas opciones están desarrollando técnicas para conseguir versiones cada vez mejores. El record más reciente lo tienen los iones atrapados con una incertidumbre de  $9.4 \times 10^{-19}$ s [54]. Los relojes de átomos en redes ópticas también consiguen los  $10^{-18}$ s de exactitud. Todavía queda tiempo para decidir cuál de las dos realizaciones se escogerá para realizar un futuro nuevo segundo, o si las dos son complementarias (ver Fig.25).

Las mejoras en la medición del tiempo proporcionadas por los relojes cuánticos también tienen importantes aplicaciones. Las aplicaciones tecnológicas son similares a las anteriormente citadas y es de gran interés poder enviar uno de estos relojes cuánticos en misiones espaciales y para mejorar los sistemas de navegación. Otra aplicación es la medida con gran precisión del campo gravitatorio pues de acuerdo con la relatividad general de Einstein, existe una dilatación temporal por efectos gravitatorios además de la debida a la velocidad. Con un reloj cuántico se pueden distinguir campos gravitatorios de solo 30 cm de altura [55], e incluso menos. Estas medidas van a permitir definir mejor las alturas por encima del nivel

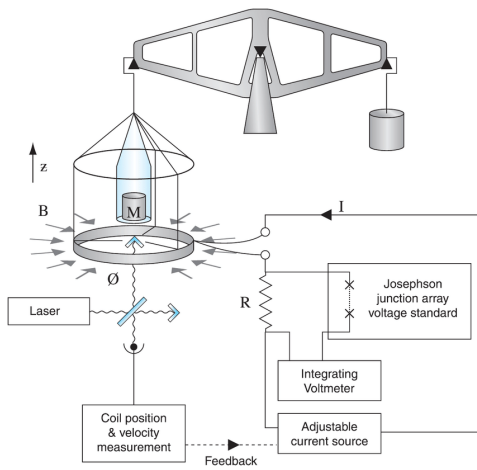


Figure 27: Balanza de Kibble funcionando en modo pesada. Explicaciones en el texto. (Crédito: Robinson-Schlamming [63]).

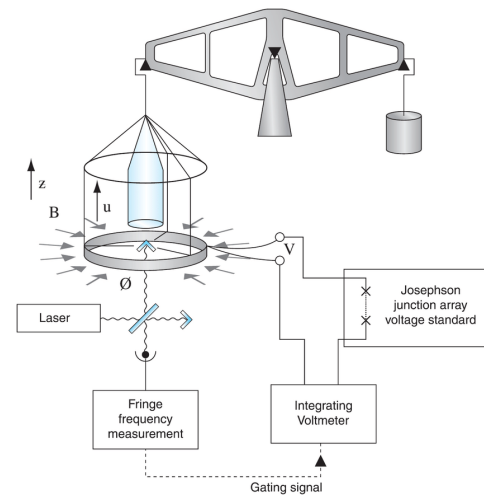


Figure 28: Balanza de Kibble funcionando en modo velocidad. Explicaciones en el texto. (Crédito Robinson-Schlamming [63]).

del mar, ya que éste no se mide de igual manera en distintas partes del mundo y es crucial para conocer la actividad de los océanos. De forma similar se pueden aplicar estos dispositivos cuánticos a geodesia, hidrología, sincronización de redes de telescopios.

La ciencia básica es una de las primeras aplicaciones fundamentales de ellos. Comparando el funcionamiento de varios relojes cuánticos a lo largo del tiempo podemos descubrir si alguna de las constantes fundamentales de la física cambian con el tiempo, lo cual es fundamental para encontrar nueva física y para la definición de las unidades básicas de acuerdo con el nuevo SI (ver X A). Ejemplos de constantes fundamentales que se pueden sondear su dependencia temporal son la constante de estructura fina electromagnética  $\alpha$  (40) y la razón de las masas del protón y el electrón  $\mu := m_p/m_e$ . En el pasado ha habido controversia sobre posibles variaciones temporales de  $\alpha$  y  $\mu$  detectadas mediante medidas de transiciones atómicas en cuásares distantes comparadas con las medidas actuales en el laboratorio [56, 57]. Como sucede que todas las transiciones atómicas dependen funcionalmente de  $\alpha$  y también las transiciones hiperfinas dependen sensiblemente de la razón  $\mu$ , resulta que los relojes cuánticos permiten mejorar las cotas de variación de estas constantes fundamentales. Con estos experimentos, se ha podido medir la razón de frecuencias ópticas entre iones de  $\text{Al}^+$  y  $\text{Hg}^+$  proporcionando una cota a la variación temporal en  $\alpha$  de  $-1.6 \pm 2.3 \times 10^{-17}$  por año, y con el ion yterbio  $\text{Yb}^+$  se obtiene una cota para  $\mu$  de  $0.2 \pm 1.1 \times 10^{-16}$  por año, las cuales son mejores en un factor diez que las medidas astrofísicas [58, 59]. Estos resultados negativos para la variación temporal de las constantes fundamentales sirven de justificación para el nuevo sistema de unidades SI y su universalidad independientemente del espacio y del tiempo, al menos mientras los experimentos sigan confirmando tales resultados.

## 2. Balanza de Kibble

La balanza de Kibble es la realización experimental actual de la unidad de masa a través de la vía cuántica en el nuevo SI [60–63]. De este modo se sigue la nueva metodología de separar definiciones de unidades de su materialización práctica (ver VIII). Mientras que la definición del nuevo kilo vinculado a la constante de Planck ha sido ya explicada en X A, ahora veremos cómo realizarlo en el laboratorio con la tecnología actual.

La realización del ‘kilo cuántico’ consiste en dos partes bien diferenciadas: a) la balanza de Kibble y b) la determinación cuántica de la potencia eléctrica. La balanza de Kibble (ver Fig.26) tiene por objetivo establecer la equivalencia de una potencia mecánica en potencia eléctrica. Después ésta se relaciona con la constante de Planck mediante procedimientos de metrología de la primera revolución cuántica: efectos Hall cuántico entero y efecto Josephson.

Empecemos por la balanza de Kibble. Aunque se presenta una discusión simplificada de ella, es suficiente para entender sus fundamentos. Se parece a una balanza ordinaria en que también tiene dos brazos, pero mientras que en la balanza ordinaria se comparan dos masas, una patrón y otra incógnita, en la de Kibble se comparan fuerzas mecánicas gravitatorias con fuerzas electromagnéticas. Su funcionamiento consta de dos modos de funcionamiento: i/ Modo Pesada y ii/ Modo Velocidad.

**Modo Pesada:** Se dispone en uno de los brazos una masa  $m$  de prueba, que podría ser por ejemplo el patrón IPK. En el otro plato se monta un circuito de cables eléctricos por donde se hace pasar una corriente  $I$  (ver Fig.27). El circuito está suspendido en un campo magnético muy fuerte creado por imanes con un campo estacionario y permanente  $B$ . La longitud del circuito es  $L$ . Entonces, la corriente induce un campo electromagnético que interacciona con el campo magnético constante del imán. La fuerza electromagnética vertical resul-

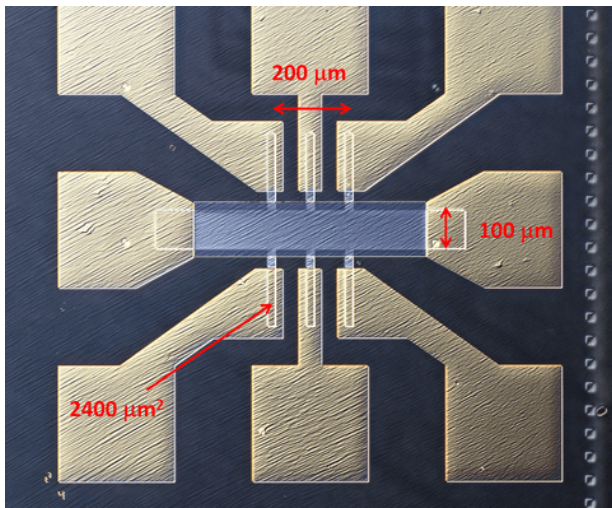


Figure 29: Un ejemplo de dispositivo de efecto Hall cuántico entero empleado por el NIST para medir resistencias. Esta barra Hall utiliza componentes con grafeno que aparecen delineadas por líneas blancas. La fuente y el drenaje de electrones están en los extremos izquierdo y derecho de la barra. No se muestran los contactos eléctricos que hay encima y debajo de la barra. (Crédito: NIST).

tante se iguala al peso de la masa prueba,

$$BLI = mg. \quad (68)$$

Durante este modo de funcionamiento, se mide la intensidad de corriente eléctrica continua de forma muy precisa mediante instrumentos apropiados (efecto Hall cuántico entero), y que es proporcional a la fuerza vertical. La corriente se ajusta para que la fuerza resultante iguale al peso de la masa prueba. □

**Modo Velocidad:** Este es un modo de calibración que es necesario pues la cantidad  $BL$  es muy difícil de medir con precisión. Si no fuera por esto, bastaría con el modo pesada. Se usa un motor eléctrico para mover el circuito de cables verticalmente a través del campo magnético externo a una velocidad constante  $v$  (ver Fig.28). Este movimiento induce un voltaje  $V$  en el circuito cuyo origen es también una fuerza de Lorentz y está dado por,

$$BLv = V. \quad (69)$$

Durante este modo de funcionamiento, se mide el voltaje de forma muy precisa mediante instrumentos apropiados (efecto Josephson), y por ende el campo magnético que es proporcional. También se usan sensores láser para monitorizar el movimiento vertical del circuito eléctrico mediante interferometría. Con esto se pueden detectar variaciones en posición del orden de la semi-longitud de onda del láser empleado. Con todo esto se asegura que el movimiento vertical sucede a velocidad constante y se puede medir el campo magnético constante. □

El efecto Hall cuántico entero permite medir resistencias con una indeterminación de unas pocas partes en  $10^{-11}$  de

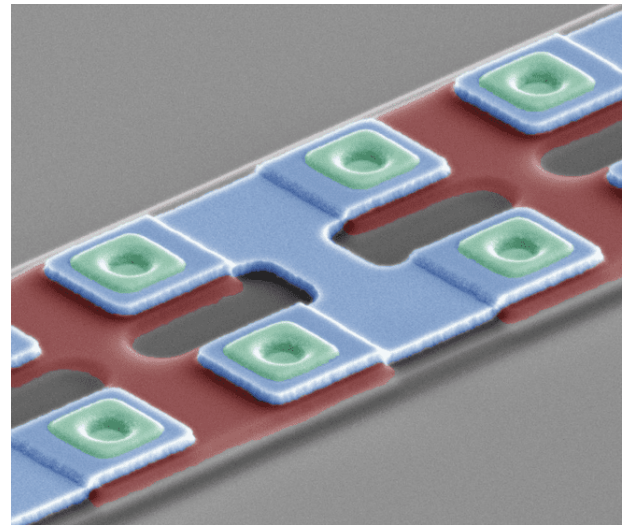


Figure 30: Vista de cerca de una unión Josephson moderna empleada en el NIST. Las uniones de Josephson se forman en los pozos circulares de color verde donde las dos capas superconductoras se superponen. Ver explicación en texto. (Crédito: M. Malnou/NIST/JILA).

ohmio. Por esta razón se utiliza para realizar el patrón estándar de resistencia [1–3].

El resultado de comparar el modo de pesada con el modo de velocidad, eliminando la cantidad  $BL$ , es la equivalencia entre potencias mecánica y eléctrica:

$$mgv = IV. \quad (70)$$

Aunque es habitual llamar a la balanza de Kibble como balanza de potencia o de watt, sin embargo, nótese que la balanza de Kibble no mide potencias reales, sino virtuales. Este punto es de crucial importancia en metrología: si la potencia mecánica se midiera realmente, entonces el dispositivo estaría sujeto a pérdidas por fricción incontrolables; otrosí, si se midiera la potencia eléctrica directamente, entonces estaría sujeta a disipación por calor. Vemos que el modo velocidad es esencial y proporciona la calibración adecuada.

Resulta que experimentalmente es más preciso medir resistencias que intensidades de corriente. Usando la ley de Ohm, podemos despejar la masa en la balanza de Kibble en función de medidas de resistencia y de voltaje:

$$m = \frac{V_R V}{gvR}, \quad (71)$$

donde  $V_R$  y  $V$  son las dos mediciones del voltaje necesarias.

En la segunda parte de la realización experimental del ‘kilo cuántico’ necesitamos relacionar la potencia eléctrica en (70) con la constante de Planck  $h$ . Esto se hace a través de la medida de la intensidad eléctrica  $I$  en el modo pesada y el voltaje  $V$  en el modo velocidad de la balanza de Kibble. Para ello se utilizan los siguientes efectos cuánticos.

**Efecto Hall Cuántico Entero:** cuando una muestra bidimensional contiene electrones constreñidos a moverse en dicho

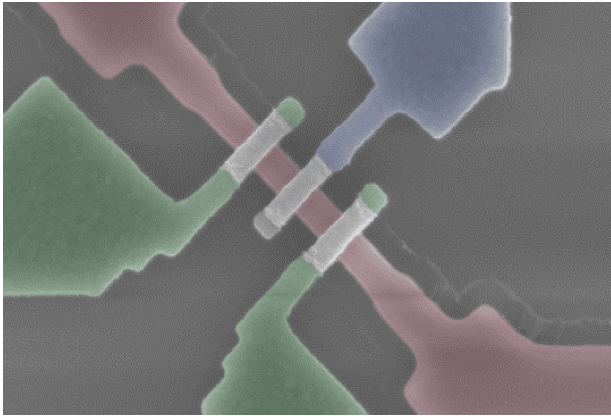


Figure 31: Ejemplo de un dispositivo de transporte mono-electrónico (TME) empleado en el NIST para la definición del amperio. La interacción entre los electrodos (puertas) azul y verde controla el movimiento de electrones individuales dentro y fuera de una “isla” en el centro. Explicaciones en el texto. Los colores son solo ilustrativos. (Crédito: NIST).

plano sujetos a un campo eléctrico coplanar alineado longitudinalmente y un campo magnético constante  $B$  muy intenso aplicado perpendicularmente a la muestra (ver Fig.29), y además la muestra electrónica se somete a temperaturas próximas al cero absoluto, el sistema se aparta de la ley de Ohm clásica y entra en un régimen cuántico. Al igual que en el caso clásico, aparece una corriente electrónica transversal que induce un voltaje transversal llamado voltaje de Hall  $V_H$ . El sistema de electrones entra en un nuevo comportamiento cuántico caracterizado por la aparición de saltos y mesetas en la relación entre la corriente transversal y el campo magnético [64]. En particular, la resistencia Hall  $R_H$  asociada a dicho potencial Hall está cuantizada

$$R_H = \frac{1}{n'} \frac{h}{e^2}, \quad (72)$$

donde  $n'$  es un número entero, dando lugar a dichas mesetas aparecen en las curvas de la resistividad Hall. Se define la constante de von Klitzing  $R_K$  como

$$R_K := \frac{h}{e^2}, \quad (73)$$

que tiene dimensiones de resistencia y es la resistencia elemental.  $\square$

**Efecto Josephson:** cuando un cable superconductor se interrumpe en un punto con un contacto hecho de material aislante que une dos porciones superconductoras, la corriente superconductoras puede mantenerse debido a un efecto túnel de los pares de Cooper del superconductor. Esto se conoce como una unión Josephson (ver Fig.30). En estas circunstancias, si se aplica una radiación de radiofrecuencia  $\nu$  se induce un potencial  $V$  a través de la unión que es proporcional a la frecuencia y está cuantizado [65, 66]:

$$V_J = n \frac{h}{2e} \nu, \quad (74)$$

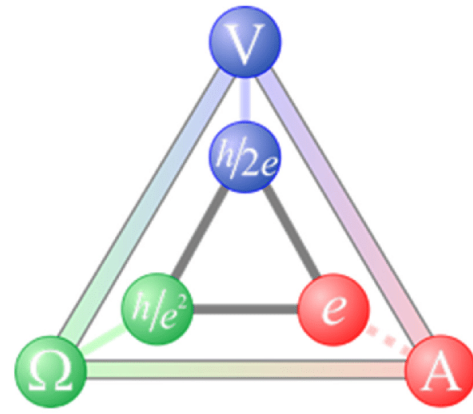


Figure 32: Triángulo metrológico cuántico: relación esquemática entre las constantes universales del efecto Hall (73), efecto Josephson (75) y la carga del electrón en un dispositivo TME. El triángulo establece una ligadura entre ellas y las constantes de Planck  $h$  y la carga elemental  $e$ . (Crédito: Piquemal et al. [67]).

donde  $n$  es un entero,  $2e$  es la carga del par de Cooper y se define la constante de Josephson como

$$K_J := \frac{2e}{h}. \quad (75)$$

Este es el llamado efecto Josephson de corriente continua (CC) y las uniones Josephson se pueden realizar con puntos metálicos o con constricciones, además de aislantes. Permite medir voltajes con una indeterminación de  $10^{-9, -10}$  voltios, es decir, del orden de nano voltios o menos. Por esta razón se utiliza para la realización el patrón estándar de voltaje [1–3].  $\square$

Ahora podemos relacionar la masa prueba (71) que se emplea en el modo pesada con la constante de Planck que aparece al medir la resistencia también en el modo pesada y el voltaje en el modo velocidad. Usando el efecto Hall cuántico entero (72) para medir la resistencia y el efecto Josephson (74) para medir los voltajes  $V_R$  y  $V$ , obtenemos la relación deseada

$$m = \left( n' n_1 n_2 \frac{\nu_1 \nu_2}{4gv} \right) h, \quad (76)$$

donde los números enteros que aparecen provienen de las mediciones concretas de los correspondientes efectos cuánticos. Para medir  $g$  se utiliza un gravímetro absoluto de alta precisión y  $v$  con métodos interferométricos. Con todas estas medidas de alta precisión, la expresión (76) tiene una utilidad ambivalente: por un lado, dada una masa patrón  $m$  como la del antiguo IPK podemos determinar  $h$  con gran precisión. Por otro lado, dado que  $h$  se puede medir con este método con mucha precisión, podemos fijar este valor de  $h$  como exacto y definir la unidad de masa en función de  $h$ : conseguimos así realizar la vía del ‘kilo cuántico’ y desvincular a la unidad de masa del artefacto kilo IPK.

### 3. Triángulo Metrológico Cuántico

La nueva definición del amperio vinculándose al valor de la carga elemental del electrón  $e$  resalta por su claridad y simplicidad comparada con la vetusta definición basada en la ley de Ampere y una construcción irrealizable utilizando hilos conductores infinitos y de grosor nulo [4]. Pero también conlleva la necesidad de materializarlo de alguna manera, y no es nada fácil pues el número de electrones en un sistema ordinario es inmensamente grande. El BIPM ha aprobado tres métodos para la realización práctica del amperio [2–4]. Uno de ellos hace uso de la definición directa de amperio  $A = C/s$  y de un dispositivo de transporte mono-electrónico (TME), que ha de enfriarse hasta temperaturas cercanas al cero absoluto (ver Fig.31). Por un TME, los electrones pasan desde una fuente hasta un drenaje. El TME consta de una región hecha de silicio, llamada isla, entre dos puertas que sirven para manipular eléctricamente la corriente. La isla almacena temporalmente los electrones provenientes de la fuente usando otra puerta de voltaje. Mediante el control de los voltajes en las dos puertas, se puede conseguir que un solo electrón permanezca en la isla antes de pasar al drenaje. Repitiendo este proceso muchas veces y muy rápidamente, se consigue establecer una corriente de la que se pueden contar sus electrones.

El sector eléctrico es el más cuántico de todas las unidades en el SI. Ahora que el amperio ha sido redefinido en el nuevo SI vinculándolo a un valor fijo de la carga del electrón, es posible relacionar las tres magnitudes que aparecen en la ley de Ohm,  $V = IR$ , en términos de solo dos constantes universales,  $h$  y  $e$ . Esto se visualiza mediante el llamado triángulo metrológico cuántico (ver Fig.32). Este triángulo representa una ligadura experimental que deben cumplir los patrones de voltaje, resistencia e intensidad, de modo que los tres no son independientes. Así, si medimos la constante de Josephson (75) por un lado y la de von Klitzing (73) por otro, nos permiten obtener valores para la unidad de carga  $e$  del electrón que debe ser compatible, dentro de las indeterminaciones experimentales, con el valor de  $e$  obtenido con un transporte mono-electrónico. Y lo mismo para cualquier pareja de magnitudes que tomemos en el triángulo. Por tanto, el triángulo metrológico cuántico nos permite comprobar experimentalmente a medida que se consiguen mejores exactitudes y precisiones, si las constantes  $h$  y  $e$  son realmente constantes como se ha supuesto en el nuevo SI. Las indeterminaciones en estas constantes deben ser compatibles usando estas tres realizaciones experimentales. Si en algún momento estas indeterminaciones no se solapan, entonces esto es un indicio de nueva física pues afectaría a los fundamentos de la mecánica cuántica o de la electrodinámica cuántica como se explicó en la sección IX. De nuevo, esto es un ejemplo de cómo la metrología no solo sirve para mantener patrones de unidades, sino para abrir nuevos caminos hacia nuevas leyes fundamentales de la naturaleza.

## XI. UNA ‘ANOMALÍA GRAVITACIONAL’ EN EL SI

A pesar de que el nuevo sistema de unidades SI supone la vinculación completa de las unidades base a constantes fundamentales de la naturaleza, no deja de ser llamativo la ausencia de una de las constantes universales más antiguas de la Física: la constante de la gravitación universal de Newton  $G$  (ver Fig.33), llamada coloquialmente la  $G$  grande, en contraposición a la  $g$  pequeña que representa la aceleración local de la gravedad en un punto terrestre.

La principal razón para excluir a  $G$  del nuevo sistema SI de unidades es la falta de precisión suficiente para poder definir una unidad de masa. Como se explicó en X A, este es el origen de la ‘vía cuántica’ para la definición del kilo cuando se quiere desvincularlo de un artefacto material como el cilindro del kilo IPK. Este hecho está relacionado con el llamado ‘Problema de la  $G$  grande de Newton’ [68–71]. Este problema consiste en la falta de compatibilidad de las medidas de  $G$  en los últimos treinta años. Diversos laboratorios de metrología de todo el mundo han tratado de medir  $G$  con dispositivos experimentales diseñados para conseguir reducir la incertidumbre en el valor de  $G$ . El resultado es sorprendente: los valores de  $G$  no convergen a un valor único consistente y sus incertidumbres no se solapan de forma compatible. Esto se puede apreciar en la Fig.34, donde se muestran los resultados de múltiples experimentos y una zona vertical donde se elige un valor de  $G$  de compromiso. La situación se ha vuelto desesperante y la NSF (National Science Foundation) ha lanzado una iniciativa mundial para tratar de esclarecer el problema [72].

Surge entonces una pregunta fundamental: ¿Cuál es el origen del problema de la  $G$  grande de Newton? La solución más natural es que sea debido a posibles errores sistemáticos en los experimentos. A favor de esta interpretación está el hecho de que, a pesar de la cada vez mayor sofisticación para tratar de medir  $G$  con mayor precisión, todos los métodos experimentales empleados son variantes de la célebre balanza de Cavendish [73, 74]. Sin embargo, en la Fig.34 aparece un valor [75] cuyo método experimental es completamente diferente de los métodos basados en la balanza de Cavendish. Se trata de un método cuántico de medir  $G$ . Su dispositivo utiliza una técnica basada en interferometría atómica con átomos ultrafríos. Con ella, se hace uso de la naturaleza cuántica de los átomos a temperaturas cercanas al cero absoluto, para obtener una medida precisa de la aceleración de la gravedad.

El método de los Átomos Fríos en Gravedad (AFG) consta de 2 pasos: Paso 1: medida de la constante  $g$  pequeña: valor de la gravedad local terrestre. Paso 2: medida de la constante  $G$  grande.

La técnica consiste en voltear átomos fríos verticalmente, arriba y abajo, de forma repetida. Esto sirve para sondear la gravedad terrestre con una nube de átomos de rubidio Rb en caída libre. Con esto se consigue medir la fuerza de la gravedad entre un átomo de Rb y una masa de referencia de 516 kg. El resultado es una medida de  $G$  con una incertidumbre relativa del 0.015%. Es la primera vez que un método cuántico es admitido a formar parte del conjunto de valores que sirven para determinar  $G$ .



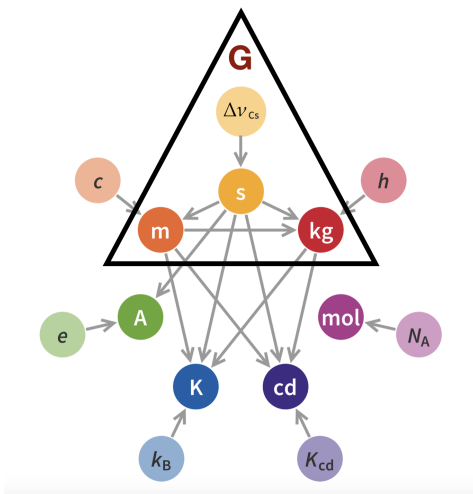


Figure 33: El esquema de las dependencias de las constantes naturales y las unidades básicas del nuevo SI en la Fig.19 presenta una ausencia notable: la constante  $G$  de la gravitación universal de Newton. El triángulo engloba a la excluida  $G$  con las unidades de las que depende (52) que son las mismas que la constante  $h$  de Planck (51), pero en otra proporción. (Crédito: Emilio Pisanty/Wikipedia (adapted)).

Esta anomalía gravitacional no deja de ser un reflejo del gran problema que afecta a la física moderna: la falta de compatibilidad entre las dos grandes teorías de nuestro tiempo, la mecánica cuántica y la relatividad general. Una observación importante (ver Conclusiones) es que el método AFG es un método indirecto de medición para la  $G$  grande de Newton: se hace a través de medir primero  $g$  pequeña. Esto contrasta con los métodos clásicos basados en la balanza de Cavendish donde se puede medir  $G$  directamente. Una medida cuántica directa de  $G$  sería un primer indicio experimental de efectos cuánticos en la gravedad y un primer paso para una teoría de gravedad cuántica. Como se ve en la Fig.34, el valor de AFG todavía queda fuera de la zona vertical sombreada del valor recomendado más reciente para  $G$ . Esto puede ser indicativo de que el método AFG no sufre de los posibles errores sistemáticos en los métodos clásicos de medida de  $G$  y podría ser el comienzo para la solución del problema de la  $G$  grande de Newton. La manera de confirmar esta hipótesis es fomentar la realización de más experimentos tipo AFG en más laboratorios independientes y usar técnicas de metrología cuántica para disminuir sus incertidumbres. Si el resultado de todos estos nuevos experimentos clásicos y cuánticos fuera que no existen errores sistemáticos, entonces la conclusión sería todavía más emocionante pues sería de nuevo una puerta abierta por la metrología a una nueva física.

Métodos directos para medir  $G$  no se conoce ninguno. De hecho, hay pocas ecuaciones de la física donde  $G$  y  $h$  aparezcan juntas. Una de ellas nos puede servir para ver las dificultades de conseguir un método cuántico directo para medir  $G$ . Se trata de la ecuación del límite de Chandrasekhar para el radio de una estrella enana blanca. Si pensáramos ingenuamente en producir un condensado gravitatorio de nucleones

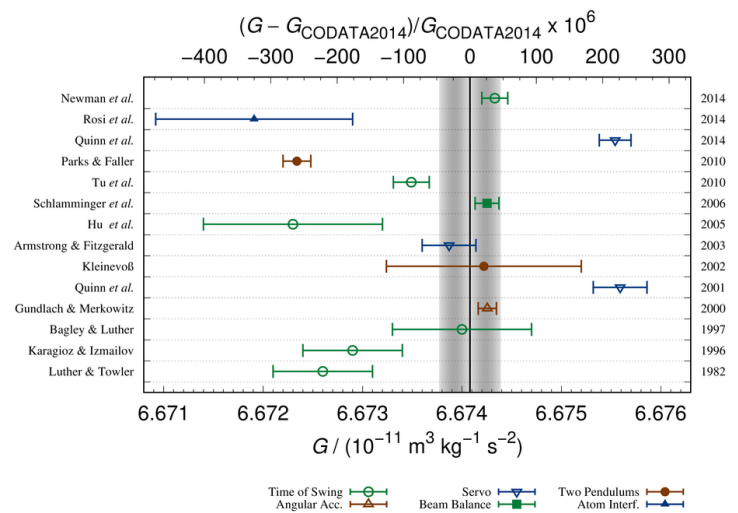


Figure 34: Diagrama comparativo de las mediciones de la constante  $G$  a lo largo del tiempo utilizando métodos clásicos basados en variantes de la balanza de torsión, salvo el de Rossi et al. [75] que emplea el método de los Átomos Fríos en Gravedad (AFG). (Crédito: NIST [68]).

(fermiones) que fuera el resultante de compensar la presión gravitatoria de  $N$  nucleones de masa  $M$  con la presión de degeneración debido al principio de exclusión de Pauli, usando mecánica cuántica no-relativista y gravitación newtoniana para simplificar, se obtiene [76] un valor del radio de equilibrio dado por

$$R_0 = \left(\frac{9\pi}{4}\right)^{2/3} \frac{\hbar q^{5/3}}{GmM^2N^{1/3}}, \quad (77)$$

donde  $N$  es el número de nucleones y  $q$  el número de electrones por nucleón con masa  $m$ . Se ha supuesto que la densidad del condensado esférico es uniforme. Para hacer una estimación sencilla, consideremos un sistema de solo neutrones ( $q = 1$ ,  $m = M = m_n$  masa del neutrón), y sustituyendo los valores experimentales conocidos, obtenemos

$$R_0 = 5.51 \times 10^{24} N^{-1/3} \text{m}. \quad (78)$$

Si queremos tener un sistema de fermiones condensado en una esfera con un radio del orden de un metro para ser manipulable en un laboratorio terrestre, podemos estimar el número de neutrones necesarios que se obtiene con (78) en algo del orden de  $N \sim 10^{74}$ , una cantidad intratable si tenemos en cuenta que el número de átomos en el universo observable es del orden de  $10^{80}$ . Esta dificultad es un reflejo de la disparidad de escalas donde actúa la gravedad frente a los efectos cuánticos.

## XII. CONCLUSIONES

La adopción del nuevo SI de unidades trae consigo varias ventajas concretas respecto al anterior sistema: resuelve el problema del amperio y las unidades eléctricas que se habían

quedado fuera del SI, elimina la dependencia del kilo con el artefacto del kilo IPK, conceptualmente es más satisfactorio definirlos en términos de constantes naturales, las futuras mejoras tecnológicas no afectarán más a las definiciones etc.

El nuevo SI de unidades no tiene repercusiones directas en la vida cotidiana, pero sí en los laboratorios de investigación y en los centros nacionales de metrología donde se necesitan medidas de gran exactitud y precisión para realizar esas investigaciones y para custodiar y diseminar los patrones primarios de las unidades. Como siempre sucede, a la larga esos nuevos descubrimientos resultan en aplicaciones que sí modifican a mejor nuestra vida diaria.

Por tanto, es un gran reto conceptual explicar y transmitir lo que supone y hay detrás del nuevo sistema de unidades. En XA se ha presentado una visión común de todas las nuevas definiciones utilizando como principio unificador la naturaleza discreta de la energía, la materia y la información en las leyes fundamentales de la Física y la Química a las que aparecen vinculadas cada una de las unidades. Curiosamente, lo único que queda sin discretizar es el espacio-tiempo. Una ventaja del nuevo SI es que facilita la explicación de las nuevas definiciones al no necesitar explicar los aparatos de medida necesarios para realizar dichas unidades.

La metrología tiene una doble misión: 1) Mantener los patrones de las unidades y su definiciones compatibles con las leyes actuales de la física. 2) Medir cada vez con mayor exactitud y precisión abriendo nuevas puertas a descubrir nuevas leyes de la física.

En cuanto a su misión más tradicional 1), la adopción del nuevo SI permite deshacerse de un artefacto material para definir el kilo, que era un objetivo largamente soñado. Con ello, es posible materializar patrones primarios de las unidades básicas en centros de metrología nacionales distintos por primera vez. En particular, la metrología cuántica va a cambiar drásticamente la diseminación y trazabilidad de las unidades de medida al conseguir que las unidades se puedan materializar autónomamente sin necesidad de tener un único patrón.

Es interesante hacer notar que en el transcurso de la con-

strucción del nuevo SI han aparecido las tres balanzas más famosas de la física: Cavendish [73, 74], Eötvös [19] y Kibble [63]. Como también han sido fundamentales los artículos de Einstein en su *annus mirabilis* de 1905 [7, 14, 16, 17].

En cuanto a la segunda misión, hemos visto cómo el nuevo SI utiliza cinco constantes universales de la naturaleza. De ellas, tres tienen un estatus especial,  $c$ ,  $h$  y  $e$ , pues están asociadas a principios de simetría del universo como el principio de relatividad, unitariedad y simetría gauge. Las otras dos son la constante de Boltzmann  $k$  y la constante de Avogadro  $N_A$ , las cuales no tienen ninguna simetría asociada.

Ahora que las unidades físicas están definidas por la física fundamental del universo, y no por una maquinación humana usando artefactos, las constantes fundamentales del universo, ¿son una maquinación de algo? ¿por qué son las que son? ¿y hasta cuándo? Hemos llegado así a las preguntas más fundamentales de la física. Por eso la metrología realmente va más allá de mantener los patrones de medida.

#### Acknowledgments

Estas notas son el resultado de varias conferencias impartidas durante 2017, 2018 y 2019. Mi agradecimiento a los organizadores José Manuel Bernabé y José Ángel Robles del Centro Español de Metrología (CEM) por su invitación al 6º Congreso Español de Metrología (2017), al 8º Seminario Intercongresos de Metrología (2018) y al Congreso del 30 Aniversario del CEM (2019); a Alberto Galindo y Arturo Romero de la Real Academia de Ciencias Exactas, Físicas y Naturales de España por su invitación al Ciclo Ciencia para Todos (2018) y la Jornada sobre “La revisión del Sistema Internacional de Unidades, (SI). Un gran paso para la ciencia” (2019); a Federico Finkel y Piergiulio Tempesta por su invitación al acto homenaje de Artemio González López con motivo de su 60 aniversario. M.A.M.-D. agradece el apoyo financiero del MINECO grant FIS2015-67411, del consorcio de investigación de la CAM QUITEMAD+, Grant No. S2013/ICE-2801 y en parte por el U.S. Army Research Office a través de Grant No. W911NF-14-1-0103.

- 
- [1] 26th General Conference on Weights and Measures (CGPM) Towards a historic revision of the International System of Units (SI). Press kit. Disponible en la red: <https://www.bipm.org/utis/en/pdf/CGPM-Press-Kit.pdf>.
- [2] The International System of Units (SI). Bureau International des Poids et Mesures (9ed). Disponible en red: <https://www.bipm.org/utis/en/pdf/si-revised-brochure/Draft-SI-Brochure-2018.pdf>.
- [3] “Redefinición del SI: un SI para el siglo XXI”. Centro Español de Metrología (CEM). Disponible en red: [www.cem.es](http://www.cem.es).
- [4] Bureau International des Poids et Mesures. “Practical realizations of the definitions of some important units”. Disponible en red: <https://www.bipm.org/en/publications/mises-en-pratique/>
- [5] CODATA Recommended Values of the Fundamental Physical Constants: 2018 NIST SP 961 (May 2019). Disponible en red: [https://physics.nist.gov/cuu/pdf/wall\\_2018.pdf](https://physics.nist.gov/cuu/pdf/wall_2018.pdf).
- [6] D B Newell, F Cabiati, J Fischer, K Fujii, S G Karshenboim, H S Margolis, E de Mirandés, P J Mohr, F Nez, K Pachucki, T J Quinn, B N Taylor, M Wang, B M Wood and Z Zhang; “The CODATA 2017 values of  $h$ ,  $e$ ,  $k$ , and  $N_A$  for the revision of the SI”. *Metrologia*, Volume 55, Number 1, (2018).
- [7] A. Einstein; “Zur Elektrodynamik bewegter Körper” [On the Electrodynamics of Moving Bodies]. *Annalen der Physik* (in German). 17 (10): 891-921, (1905).
- [8] Richard P. Feynman; “Six Easy Pieces”. Perseus, New York 2011.
- [9] Robert P Crease; “The most beautiful experiment”; *Physics World*, Volume 15, Number 9, p.15 (2002).
- [10] Steven Weinberg; “Precision Tests of Quantum Mechanics”. *Phys. Rev. Lett.* 62, 485 (1989).
- [11] J. J. Bollinger, D. J. Heinzen, W. M. Itano, S. L. Gilbert, and D. J. Wineland; “Test of the linearity of quantum mechanics by rf spectroscopy of the  $9\text{Be}^+$  ground state” *Phys. Rev. Lett.* 63,

- 1031, (1989).
- [12] M. Planck; “Über das Gesetz der Energieverteilung im Normalspectrum” [On the law of the distribution of energy in the normal spectrum]. *Annalen der Physik*. 4th series (in German). 4 (3): 553-563, (1901).
- [13] M. Planck; “The Genesis and Present State of Development of the Quantum Theory”. Nobel Lecture. (2 June 1920). Disponible en red: <https://www.nobelprize.org/prizes/physics/1918/planck/lecture/>
- [14] A. Einstein, Albert; “Über die von der molekularkinetischen Theorie der Wärme geforderte Bewegung von in ruhenden Flüssigkeiten suspendierten Teilchen” [Investigations on the theory of Brownian Movement]. *Annalen der Physik* (in German). 17 (8): 549-560, (1905).
- [15] J. Perrin; “Mouvement brownien et réalité moléculaire” [Brownian movement and molecular reality]. *Annales de chimie et de physique*. 8th series. 18: 5-114, (1909).
- [16] A. Einstein; “Über einen die Erzeugung und Verwandlung des Lichtes betreffenden heuristischen Gesichtspunkt” [On a Heuristic Point of View about the Creation and Conversion of Light]. *Annalen der Physik* (in German). 17 (6): 132-148, (1905).
- [17] A. Einstein ; “Ist die Trägheit eines Körpers von seinem Energieinhalt abhängig?” [Does the Inertia of a Body Depend Upon Its Energy Content?]. *Annalen der Physik* (in German). 18 (13): 639-641, (1905).
- [18] L. de Broglie, *Recherches sur la théorie des quanta* (Researches on the quantum theory), Thesis (Paris), 1924; *L. de Broglie, Ann. Phys. (Paris) 3, 22* (1925).
- [19] S. Schlamminger, Ki-Young Choi, T.A. Wagner, J.H. Gundlach, E.G. Adelberger; “Test of the Equivalence Principle Using a Rotating Torsion Balance”. *Phys. Rev. Lett.* 100 (4): 041101, (2008). arXiv:0712.0607.
- [20] R. Landauer; “Irreversibility and heat generation in the computing process”, *IBM Journal of Research and Development*, 5 (3): 183-191, (1961).
- [21] C.H. Bennett; “The thermodynamics of computation. A review”. *International Journal of Theoretical Physics*. 21 (12): 905-940, (1982).
- [22] C. H. Bennett; “Notes on Landauer’s principle, Reversible Computation and Maxwell’s Demon”, *Studies in History and Philosophy of Modern Physics*, 34 (3): 501-510, (2003).
- [23] J. M. Diaz de la Cruz and M.A. Martin-Delgado; “Quantum-information engines with many-body states attaining optimal extractable work with quantum control”. *Phys. Rev. A* 89, Issue 3, id.032327 (2014).
- [24] A. Bérut, A. Arakelyan, A. Petrosyan, S. Ciliberto, R. Dillenschneider and E. Lutz “Experimental verification of Landauer’s principle linking information and thermodynamics”, *Nature*, 483 (7388): 187-190, (2012). arXiv:1503.06537
- [25] Y. un, M. Gavrilov, J. Bechhoefer; “High-Precision Test of Landauer’s Principle in a Feedback Trap”, *Phys. Rev. Lett.*, 113 (19): 190601, (2014). arXiv:1408.5089
- [26] J. Hong, B. Lambson, S. Dhuey, J. Bokor; “Experimental test of Landauer’s principle in single-bit operations on nanomagnetic memory bits”. *Science Advances*. 2 (3): e1501492. (2016).
- [27] R. Gaudenzi, E. Burzuri, S. Maegawa, H. van der Zant and Fernando Luis; “Quantum Landauer erasure with a molecular nanomagnet”, *Nature Physics*, 14 (6): 565-568, (2018).
- [28] “Quantum Manifesto: A New Era of Technology” (2016). Disponible en red: [https://qt.eu/app/uploads/2018/04/93056\\_Quantum-Manifesto\\_WEB.pdf](https://qt.eu/app/uploads/2018/04/93056_Quantum-Manifesto_WEB.pdf)
- [29] A. Galindo and M.A. Martin-Delgado; “Information and computation: Classical and quantum aspects”. *Rev.Mod.Phys.* 74, 347-423, (2002). <https://arxiv.org/abs/quant-ph/0112105>
- [30] R. Sawant, J. Samuel, A. Sinha, S. Sinha, and U. Sinha. “Non-classical Paths in Quantum Interference Experiments”. *Phys. Rev. Lett.* 113, 120406, (2014).
- [31] V. Giovannetti, S. Lloyd, L. Maccone; “Advances in Quantum Metrology”. *Nature Photonics* 5, 222 (2011). <https://arxiv.org/abs/1102.2318>
- [32] W. Nawrocki. *Introduction to Quantum Metrology*. Springer. 2015.
- [33] Ernst O. Göbel and Uwe Siegener. *The New International System of Units (SI): Quantum Metrology and Quantum Standards*. Wiley-VCH. 2019.
- [34] B.P. Abbott et al. “Observation of Gravitational Waves from a Binary Black Hole Merger”. *Phys. Rev. Lett.* 116, 061102, (2016).
- [35] *The Nobel Prize in Physics 2017. Popular Science Background*. Disponible en red: <https://www.nobelprize.org/uploads/2018/06/popular-physicsprize2017-1.pdf>
- [36] M. Orszag. *Quantum Optics*. Springer, 2016.
- [37] Los estados comprimidos de luz tienen cuadratura de amplitud y cuadratura de fase asociada con la parte eléctrica de las ondas electromagnéticas. Son ortogonales entre sí, pero no son independientes, ya que satisfacen una restricción de incertidumbre: aumentar la precisión de uno es a expensas del otro. Dado que para aumentar la sensibilidad de una medición de posición en los brazos de un interferómetro LIGO lo que importa es la cuadratura de amplitud, lo fundamental del uso de luz comprimida en estas mediciones se basa en reducir la incertidumbre de la amplitud a expensas de la de la fase, que no juega ningún papel en la determinación de la posición.
- [38] R. Schnabel, N. Mavalvala, D. McClelland, D. et al. *Quantum metrology for gravitational wave astronomy*. *Nat Commun* 1, 121 (2010)
- [39] R. Schnabel, *Squeezed states of light and their applications in laser interferometers*. *Physics Reports* 684, 1-51 (2017).
- [40] N. Poli, C. W. Oates, P. Gill, G. M. Tino; “Optical atomic clocks”. *Nuovo Cimento* 36, Issue 12, 555-624, (2013). DOI: 10.1393/ncr/i2013-10095-x
- [41] Planck Collaboration, N. Aghanim, Y. Akrami, et al. 2018. <http://arxiv.org/abs/1807.06209>.
- [42] W. D’Arcy Kenworthy, Dan Scolnic, Adam Riess; “The Local Perspective on the Hubble Tension: Local Structure Does Not Impact Measurement of the Hubble Constant”. *The Astrophysical Journal*, Volume 875, Number 2, (2019). <https://arxiv.org/abs/1901.08681>
- [43] Adam G. Riess, Stefano Casertano, Wenlong Yuan, Lucas M. Macri, Dan Scolnic; “Large Magellanic Cloud Cepheid Standards Provide a 1% Foundation for the Determination of the Hubble Constant and Stronger Evidence for Physics Beyond LambdaCDM”. *The Astrophysical Journal*, Volume 876, Number 1, (2019). <https://arxiv.org/abs/1903.07603>
- [44] Wendy L. Freedman, Barry F. Madore, Dylan Hatt, Taylor J. Hoyt, In-Sung Jang, Rachael L. Beaton, Christopher R. Burns, Myung Gyoon Lee, Andrew J. Monson, Jillian R. Neeley, Mark M. Phillips, Jeffrey A. Rich, Mark Seibert; “The Carnegie-Chicago Hubble Program. VIII. An Independent Determination of the Hubble Constant Based on the Tip of the Red Giant Branch”. <https://arxiv.org/abs/1907.05922>
- [45] Stephen M. Feeney, Hiranya V. Peiris, Andrew R. Williamson, Samaya M. Nissanke, Daniel J. Mortlock, Justin Alsing, and Dan Scolnic; “Prospects for Resolving the Hubble Constant Tension with Standard Sirens”. *Phys. Rev. Lett.* 122, 061105, (2019).

- [46] K. Hotokezaka, E. Nakar, O. Gottlieb, S. Nisanke, K. Masuda, G. Hallinan, K. P. Mooley and A. T. Deller; "A Hubble constant measurement from superluminal motion of the jet in GW170817"; *Nature Astronomy* (2019). <https://arxiv.org/abs/1806.10596>
- [47] Alpine Quantum Technologies GmbH (AQT). <https://www.aqt.eu>
- [48] J.I. Cirac and P. Zoller, *Phys. Rev. Lett.* 74, 4091 (1995).
- [49] F. Schmidt-Kaler, H. Häffner, M. Riebe, S. Gulde, G.P.T. Lancaster, T. Deuschle, C. Becher, C.F. Roos, J. Eschner and R. Blatt, *Nature* 422, 408 (2003).
- [50] S.A. Diddams, Th. Udem, J.C. Bergquist, E.A. Curtis, R.E. Drullinger, L. Hollberg, W.M. Itano, W.D. Lee, C.W. Oates, K.R. Vogel and D.J. Wineland, *Science* 293, 825 (2001).
- [51] T. Rosenband, D.B. Hume, P.O. Schmidt, C.W. Chou, A. Brusch, L. Loirin, W.H. Oskay, R.E. Drullinger, T.M. Fortier, J.E. Stalnaker, S.A. Diddams, W.C. Swann, N.R. Newbury, W.M. Itano, D.J. Wineland and J.C. Bergquist, *Science* 319, 1808 (2008).
- [52] C.W. Chou, D.B. Hume, J.C.J. Koelemeij, D.J. Wineland and T. Rosenband, *Phys. Rev. Lett.* 104, 070802 (2010).
- [53] D. Leibfried, R. Blatt, C. Monroe, and D. Wineland; "Quantum dynamics of single trapped ions". *Rev. Mod. Phys.* 75, 281, (2003).
- [54] S. M. Brewer, J.-S. Chen, A. M. Hankin, E. R. Clements, C. W. Chou, D. J. Wineland, D. B. Hume, and D. R. Leibbrandt; " $Al^{+}$  Quantum-Logic Clock with a Systematic Uncertainty below  $10^{-18}$ ". *Phys. Rev. Lett.* 123, 033201, (2019).
- [55] C.W. Chou, D.B. Hume, T. Rosenband and D.J. Wineland, *Science* 329, 1630 (2010).
- [56] J. K. Webb, J. A. King, M. T. Murphy, V. V. Flambaum, R. F. Carswell, and M. B. Bainbridge, "Indications of a Spatial Variation of the Fine Structure Constant"; *Phys. Rev. Lett.* 107, 191101 (2011).
- [57] J. Bagdonaite, P. Jansen, C. Henkel, H. L. Bethlem, K. M. Menten, and W. Ubachs, "A Stringent Limit on a Drifting Proton-to-Electron Mass Ratio from Alcohol in the Early Universe"; *Science* 339, 46 (2012).
- [58] N. Huntemann, B. Lipphardt, Chr. Tamm, V. Gerginov, S. Weyers, and E. Peik, "Improved Limit on a Temporal Variation of  $m_p/m_e$  from Comparisons of  $Yb^{+}$  and Cs Atomic Clocks"; *Phys. Rev. Lett.* 113, 210802 (2014).
- [59] R. M. Godun, P. B. R. Nisbet-Jones, J. M. Jones, S. A. King, L. A. M. Johnson, H. S. Margolis, K. Szymaniec, S. N. Lea, K. Bongs, and P. Gill, "Frequency Ratio of Two Optical Clock Transitions in  $Yb^{+}$  and Constraints on the Time Variation of Fundamental Constants"; *Phys. Rev. Lett.* 113, 210801 (2014).
- [60] B.P. Kibble. "A Measurement of the Gyromagnetic Ratio of the Proton by the Strong Field Method". *Atomic Masses and Fundamental Constants 5*. pp. 545-551, (1975), edited by J. H. Sanders and A. H. Wapstra (Plenum Press, New York).
- [61] B.P. Kibble, I.A. Robinson, J.H. Belliss. "A Realization of the SI Watt by the NPL Moving-coil Balance". *Metrologia*. 27 (4): 173-192, (1990).
- [62] Peter J. Mohr, Barry N. Taylor, David B. Newell. CODATA Recommended Values of the Fundamental Physical Constants: 2006 Rev. *Mod. Phys.* 80:633-730, (2008)
- [63] Ian Robinson and Stephan Schlamminger; "The watt or Kibble balance: A technique for implementing the new SI definition of the unit of mass"; *Metrologia* 53(5), September 2016.
- [64] K. v. Klitzing; G. Dorda; M. Pepper, "New method for high-accuracy determination of the fine-structure constant based on quantized Hall resistance". *Phys. Rev. Lett.* 45 (6): 494-497, (1980)
- [65] B. D. Josephson, "Possible new effects in superconductive tunnelling". *Phys. Lett.* 1 (7): 251-253, (1962).
- [66] B. D. Josephson, "The discovery of tunnelling supercurrents". *Rev. Mod. Phys.* 46 (2): 251-254, (1974).
- [67] F. Piquemal, B. Jeckelmann, L. Callegaro, J. Hällström, T. Janssen, J. Melcher, G. Rietveld, U. Siegner, P. Wright, M. Zeier, "Metrology in electricity and magnetism: EURAMET activities today and tomorrow"; *Metrologia* 54(5): R1-R24, August 2017.
- [68] NIST News. "Big G Redux: Solving the Mystery of a Perplexing Result". November 16, 2016. Disponible en red: <https://www.nist.gov/news-events/news/2016/11/big-g-redux-solving-mystery-perplexing-result>
- [69] Terry Quinn; "Measuring big G". *Nature* 408, 919-920 (2000).
- [70] Terry Quinn, Harold Parks, Clive Speake, and Richard Davis; "Improved Determination of G Using Two Methods". *Phys. Rev. Lett.* 111, 101102, (2013); Erratum *Phys. Rev. Lett.* 113, 039901 (2014).
- [71] M.A. Martín-Delgado; "Medidas Cuánticas de la Constante G de la Gravitación Universal de Newton". Ponencia n° R115. 6º Congreso Español de Metrología. San Fernando de Cadiz. (2017).
- [72] National Science Foundation. "Ideas Lab: Measuring 'Big G' Challenge". Disponible en red: <https://nsf.gov/pubs/2015/nsf15591/nsf15591.htm>
- [73] A. Moreno; "Weighing the Earth: a Newtonian Test and the Origin of an Anachronism". *Science & Education* 10(6):515-543, (2001).
- [74] A. Galindo, A. Moreno, A. Benedí y P. Varela; Física, 2º Bachillerato LOGSE, McGraw-Hill, Madrid (1998).
- [75] G. Rosi, F. Sorrentino, L. Cacciapuoti, M. Prevedelli, and G.M. Tino; "Precision measurement of the Newtonian gravitational constant using cold atoms". *Nature* volume 510, 518-521 (2014).
- [76] S. Chandrasekhar; "The Density of White Dwarf Stars". *Philosophical Magazine*. 11 (70): 592-596, (1931).